



## ทฤษฎีการรู้จำตัวพิมพ์อักขระ

### 2.1 ทฤษฎีเบื้องต้น

#### 2.1.1 ความหมายของการรู้จำอักขระ

โดยธรรมชาติของมนุษย์เราแล้ว เมื่อได้พบเห็นหรือได้รับฟังสิ่งใดก็ตาม ก็จะเรียนรู้และจดจำสิ่งนั้นไว้ (cognition) จากนั้นเมื่อได้พบเห็นหรือได้รับฟังสิ่งนั้นอีกครั้งหนึ่งก็สามารถที่จะรู้ว่าสิ่งนั้นคืออะไรได้ (recognition) ดังนั้น "การรู้จำอักขระ (character recognition)" หมายถึง การจำลองความสามารถของมนุษย์ดังกล่าว โดยเน้นเฉพาะในเรื่องที่เกี่ยวกับการมองเห็นมาให้เครื่องคอมพิวเตอร์ ให้มีความสามารถในการอ่านและรู้จำอักขระได้

#### 2.1.2 ประเภทของการรู้จำอักขระ แบ่งเป็น 2 ประเภท คือ

##### 2.1.2.1 วิธีการรู้จำโดยระบบออนไลน์ (on-line recognition method)

อักขระจะถูกรู้จำได้ในทันที หลังจากขบวนการในการรับอักขระเข้าสู่เครื่องคอมพิวเตอร์เสร็จสิ้นลง อุปกรณ์รับข้อมูลเข้าสู่เครื่องคอมพิวเตอร์สำหรับระบบออนไลน์นี้ ได้แก่ ดิจิไทเซอร์ (digitizer) โดยลักษณะข้อมูลที่เข้าสู่เครื่องคอมพิวเตอร์จะเป็นค่าพิกัดของจุดที่เกิดจากการลากปากกาบนแผ่นดิจิไทเซอร์ และอักขระจะถูกรู้จำได้ในทันทีที่การเขียนอักขระตัวนั้นเสร็จสิ้นลง

##### 2.1.2.2 วิธีการรู้จำโดยระบบออฟไลน์ (off-line recognition method)

อุปกรณ์รับข้อมูลเข้าสู่เครื่องคอมพิวเตอร์สำหรับระบบนี้ ได้แก่ เครื่องกวาดตรวจด้วยแสง (optical scanner) โดยลักษณะข้อมูลที่เข้าสู่เครื่องคอมพิวเตอร์หลังจากผ่านการกวาดตรวจด้วยแสงแล้ว จะอยู่ในรูปที่เป็นภาพบิตเมตริกซ์ของอักขระแต่ละตัวเรียงต่อกันอยู่ สำหรับการรู้จำในระบบออฟไลน์นั้น อักขระที่ถูกเขียนหรือพิมพ์จะยังไม่ถูกรู้จำใน



ทันที คือหลังจากที่อักขระถูกป้อนเข้าสู่เครื่องคอมพิวเตอร์โดยผ่านเครื่องกวาดตรวจด้วยแสงแล้ว ก็จะนำข้อมูลอักขระที่ได้นั้น ไปผ่านขบวนการในการตัดอักขระออกจากประโยคทีละตัวเสียก่อน จากนั้นจึงจะนำเมตริกซ์ของอักขระแต่ละตัวไปประมวลผลเพื่อการรู้จำอีกทีหนึ่ง อักขระที่นำมาประยุกต์ใช้กับการรู้จำในระบบนี้ มี 2 ประเภท คือ

### ก. อักขระตัวพิมพ์ (Printed characters)

รูปแบบของอักขระชนิดนี้จะได้มาจากการพิมพ์ต่างๆ เช่น จากเครื่องพิมพ์ดีด หรือ อุปกรณ์การพิมพ์อื่นๆ เป็นต้น โดยมีรูปแบบอักขระที่แน่นอนสำหรับอุปกรณ์การพิมพ์แต่ละชนิด และจากการพิมพ์เหล่านี้จะได้เป็นสิ่งตีพิมพ์ต่างๆ เช่น หนังสือ บทความ หรือ ใบสำคัญต่างๆ เป็นต้น

การรู้จำอักขระตัวพิมพ์แบ่งออกได้เป็น 2 ประเภท คือ

#### ก.1 การรู้จำอักขระตัวพิมพ์รูปแบบเดียว (Single-font)

การรู้จำอักขระประเภทนี้มีจุดมุ่งหมายเพื่อให้เครื่องคอมพิวเตอร์สามารถอ่านและรู้จำตัวพิมพ์อักขระได้เฉพาะ รูปแบบของอักขระที่เก็บไว้เพียงรูปแบบเดียวเท่านั้น

#### ก.2 การรู้จำอักขระตัวพิมพ์หลายรูปแบบ (Multiple-font)

การรู้จำอักขระประเภทนี้มีจุดมุ่งหมายเพื่อให้เครื่องคอมพิวเตอร์สามารถอ่านและรู้จำตัวพิมพ์อักขระได้มากกว่า 1 รูปแบบของอักขระ

### ข. อักขระลายมือเขียน (Hand-printed characters)

รูปแบบอักขระจะได้จากการเขียนทั่วไป ซึ่งไม่สามารถกำหนดรูปแบบที่แน่นอนได้ ขึ้นกับการเขียนของแต่ละคน (วิลเนพ ดันฤดี, 2533)



### 2.1.3 หลักการทำงานของการรู้จำอักขระด้วยแสง

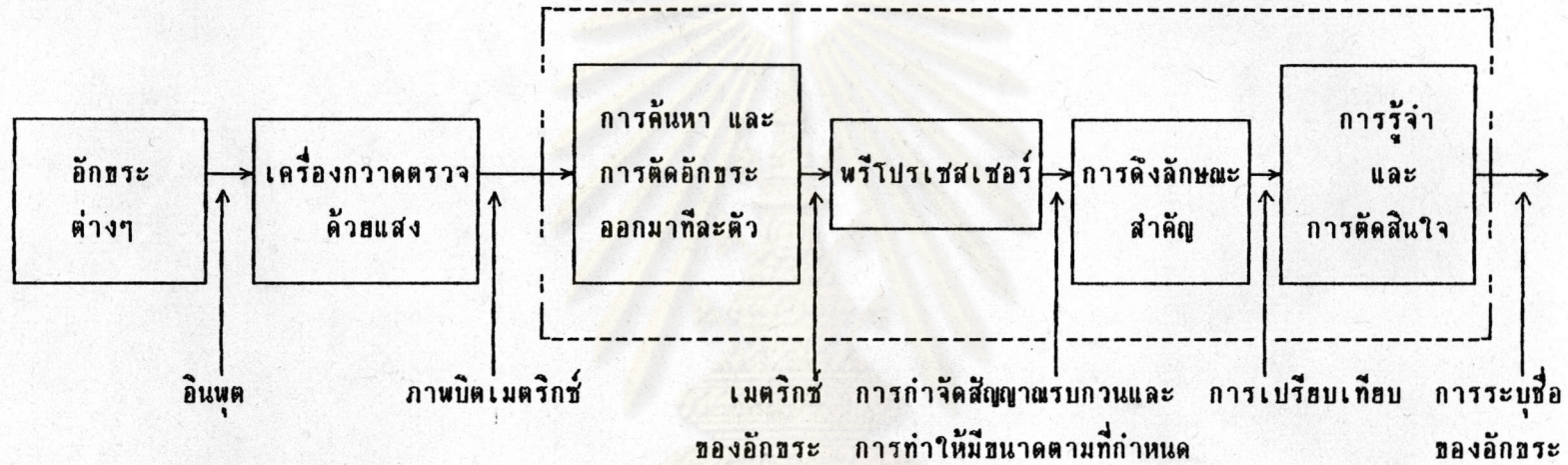
กระบวนการรู้จำอักขระด้วยแสง (optical character recognition) โดยเครื่องคอมพิวเตอร์มีหลักการทำงานดังแสดงในรูปที่ 2.1 ในขั้นแรกอักขระต่างๆ ที่อยู่บนสิ่งตีพิมพ์จะถูกอ่านเข้ามาโดยใช้เครื่องกวาดตรวจด้วยแสงเป็นอุปกรณ์รับข้อมูล ข้อมูลที่เข้าสู่เครื่องคอมพิวเตอร์จะเข้ามาที่ละหน้า และอยู่ในรูปที่เป็นภาพบิตเมตริกซ์ของอักขระต่างๆ ที่อยู่บนสิ่งตีพิมพ์นั้น จากนั้นจะมีการค้นหาอักขระและตัดอักขระออกมาทีละตัวจากประโยค แล้วจึงเก็บอักขระที่ตัดออกมาลงเมตริกซ์

เมตริกซ์ของอักขระที่ได้จะผ่านเข้าสู่พรีโพรเซสเซอร์ (preprocessor) เพื่อทำเมตริกซ์ให้มีลักษณะคมชัดขึ้น โดยการกำจัดสัญญาณรบกวน (noise) สัญญาณรบกวนนี้อาจเกิดจากการทำงานของเครื่องกวาดตรวจด้วยแสงในขณะที่กำลังรับข้อมูลเข้า หรืออาจเกิดจากอักขระบนสิ่งตีพิมพ์ที่รับเข้ามามีลักษณะของเส้นไม่เรียบหรืออาจเกิดจากรอยสกปรกบนสิ่งตีพิมพ์ก็ได้ ทำให้เกิดลักษณะการนูนเว้าเล็กๆ บนเส้นแสดงขอบของอักขระ ซึ่งสัญญาณรบกวนนี้จะส่งผลให้เกิดความผิดพลาดในการรู้จำอักขระขึ้นได้ ดังนั้นจึงจำเป็นจะต้องมีการกำจัดสัญญาณรบกวนออกก่อนที่จะมีการดึงลักษณะสำคัญของอักขระออกมา ตัวอย่างส่วนของเส้นที่มีสัญญาณรบกวนเกิดขึ้นแสดงได้ดังในรูปที่ 2.2(ก) ซึ่งจะเห็นว่ามียลักษณะการนูนเว้าเกิดขึ้น แต่เมื่อกำจัดสัญญาณรบกวนออกแล้ว ลักษณะการนูนเว้าจะหายไปและเปลี่ยนเป็นเส้นตรงดังรูปที่ 2.2(ข) เมื่อกำจัดสัญญาณรบกวนออกจากเมตริกซ์ของอักขระเรียบร้อยแล้ว ก็จะต้องมีการปรับเมตริกซ์นั้นให้มีลักษณะตามที่กำหนด (normalization) ซึ่งมีทั้งการปรับขนาดของอักขระ (size normalization) และการปรับอักขระจากตัวเอียงให้เป็นตัวตรง (skew normalization) เพื่อขจัดปัญหาในการที่อักขระที่รับเข้ามาอาจมีทั้งขนาดเล็กและขนาดใหญ่ หรืออาจมีอักขระที่มีลักษณะเป็นตัวเอียงอยู่ด้วยก็ได้ ซึ่งขนาดและลักษณะการเอียงของอักขระที่แตกต่างกันนี้ อาจมีผลต่อการดึงลักษณะสำคัญออกจากอักขระในขั้นตอนต่อไปได้ คือ อาจทำให้ได้ค่ารหัสที่แตกต่างกันสำหรับอักขระตัวเดียวกัน แต่มีขนาดหรือลักษณะการเอียงที่แตกต่างกัน

จากนั้นก็เข้าสู่ขั้นตอนของการดึงลักษณะเด่น หรือ ลักษณะสำคัญของอักขระออกมา ขั้นตอนนี้ถือว่าเป็นขั้นตอนที่มีความสำคัญมาก ซึ่งจะมีผลต่อวิธีการที่ใช้ในการรู้จำและอัตราความถูกต้องในการรู้จำด้วย เนื่องจากลักษณะสำคัญของอักขระนี้จะเป็สิ่งที่ใช้บอกว่อักขระที่รับเข้ามานั้นเป็นอักขระใด โดยในขั้นตอนของการสร้างพจนานุกรมของอักขระนั้นจะมีการป้อนชุดข้อมูลอักขระตัวอย่างเข้าสู่เครื่องกวาดตรวจด้วยแสง และเมื่อเครื่องคอมพิวเตอร์ได้รับอักขระตัวอย่างมาแล้วก็จะกำจัดสัญญาณรบกวน ปรับเมตริกซ์ให้มีลักษณะตามที่กำหนด จากนั้นก็จะดึงลักษณะสำคัญของอักขระออกมาและจัดเก็บเข้าไว้เป็นพจนานุกรมของอักขระ ต่อมาเมื่อต้องการให้



เครื่องคอมพิวเตอร์



รูปที่ 2.1 แผนภาพแสดงหลักการทำงานของเครื่องรู้จำอักขระด้วยแสง

ศูนย์วิทยทรัพยากร  
จุฬาลงกรณ์มหาวิทยาลัย



เครื่องคอมพิวเตอร์อ่านอักขระก็ทำได้โดยวิธีเดียวกัน เพียงแต่หลังจากที่มีการดึงลักษณะสำคัญของอักขระออกมาแล้ว ก็จะนำลักษณะเหล่านั้นไปเปรียบเทียบกับข้อมูลในพจนานุกรมของอักขระ ถ้าลักษณะสำคัญนั้นใกล้เคียงหรือเหมือนกับลักษณะสำคัญของอักขระต้นแบบใดในพจนานุกรม ก็จะถือว่า อักขระต้นแบบนั้นเป็นอักขระที่รู้จักได้ (Suen, Berthod, and Mori, 1980)

X	X
X	X
X	X
X	X
X	X
X	X

(ก) ส่วนของเส้นที่มีสัญญาณรบกวน

(ข) ส่วนของเส้นหลังจากกำจัดสัญญาณรบกวน

รูปที่ 2.2 ตัวอย่างการกำจัดสัญญาณรบกวน

2.1.4 เทคนิคการรู้จักอักขระ แบ่งเป็น 2 ประเภท คือ  
(Suen 1982, quoted in Hor 1985)

2.1.4.1 ประเภทที่นำลักษณะสำคัญทางโกลบอล (global features) มาใช้

เทคนิคประเภทนี้จะพิจารณาลักษณะสำคัญของอักขระในลักษณะของภาพรวม คือ จะมองภาพบิตเมตริกซ์ของอักขระแต่ละตัวในลักษณะเป็นภาพรวม โดยใช้เทคนิคต่อไปนี้ (Suen et al., 1980)

ก. การจับคู่เปรียบเทียบกับอักขระต้นแบบ (template matching and correlations)

เทคนิคนี้จะนำลักษณะของทุกจุดที่อยู่ภายในกรอบ (frame) มาพิจารณา และสามารถที่จะวัดความคล้ายระหว่างอักขระที่รับเข้ามากับอักขระต้นแบบที่เก็บไว้ได้อย่างง่ายดาย โดยการจับคู่ และเปรียบเทียบจุดที่อยู่ภายในกรอบนั้น



ข. การแปลงและการขยายอนุกรม (transformations and series expansions)

ปัญหาหนึ่งที่เกิดจากการใช้จุด ในลักษณะเช่นที่ใช้กับวิธีการจับคู่เปรียบเทียบกับอักขระต้นแบบ คือขนาดของเวกเตอร์ที่แสดงลักษณะมีขนาดใหญ่ เนื่องจากต้องเก็บทุกจุดภายในกรอบ ดังนั้นจึงได้นำเทคนิคนี้มาใช้เพื่อช่วยลดขนาดของเวกเตอร์ และสามารถใช้ในการดึงลักษณะสำคัญของภาพออกมาได้ ไม่ว่าลักษณะของภาพจะเปลี่ยนไปอย่างไร เช่น เกิดการเอียง หรือการหมุนของภาพ ตลอดจนขนาดของภาพที่เปลี่ยนไปด้วย

จากนั้นการจะตัดสินใจว่า รูปแบบที่ไม่ทราบกับรูปแบบต้นแบบมีความคล้ายกันเพียงไรทำได้โดยการนำทฤษฎีทางสถิติมาประยุกต์ใช้

วิธีการรู้จำอักขระที่ใช้สารสนเทศรวมของรูปแบบนั้น ง่ายในการหาลักษณะสำคัญของอักขระ และมีผลกระทบน้อยจากการรบกวนของลักษณะในส่วนต่างๆ ของภาพ แต่ถ้ามีการสูญเสียลักษณะสำคัญในส่วนต่างๆ ของภาพไปแล้ว ก็จะมีผลกระทบอย่างมากต่อความถูกต้องในการรู้จำ (วิลนพ ตันฤดี, 2533)

#### 2.1.4.2 ประเภทที่นำลักษณะสำคัญทางโลคอล (local features) มาใช้

เทคนิคประเภทนี้อาจเรียกว่า การวิเคราะห์โครงสร้างรูปแบบของอักขระ (Structural analysis) หรือ การวิเคราะห์แบบซินแทกติก (Syntactic analysis) โดยจะนำคุณสมบัติของแต่ละส่วนย่อยที่ประกอบเป็นอักขระมาใช้ เช่น ทิศทางการลากเส้นแสดงอักขระ ความโค้งเว้า จุดปลาย และ การตัดกันของเส้น (Kushnir, Abe, and Matsumoto, 1985) เทคนิคนี้กำลังได้รับความสนใจเป็นอย่างมากในปัจจุบัน เนื่องจากมีขีดความสามารถที่ทฤษฎีทางสถิติยังขาดอยู่ คือความสามารถในการจัดการโครงสร้าง ซึ่งจะรวมถึงส่วนของเส้น (line segments) เส้นแสดงขอบ (contour lines) และเส้นแสดงโครงร่างที่ได้จากการลดความหนาของรูปแบบ (skeleton lines) นอกจากนี้ยังช่วยลดขนาดของเซตที่แสดงลักษณะได้ด้วย

เทคนิคประเภทนี้แบ่งตามลักษณะที่ถูกดึงมาใช้เป็น 2 ประเภท คือ



### ก. การวิเคราะห์เส้นแสดงโครงร่างอักษร (skeleton)

ในการรู้จำอักษรนั้น ปัญหาหนึ่งที่ต้องประสບอยู่เสมอ คือ ขนาดความหนาบางของอักษรที่จะรู้จำมีขนาดไม่เท่ากัน ทำให้รหัสที่ใช้แทนอักษรรูปเดียวกัน แต่มีความหนาบางต่างกันเป็นรหัสที่แตกต่างกันออกไปด้วย ดังนั้นเพื่อจัดปัญหานี้จึงใช้วิธีการแปลงภาพบิตเมตริกซ์ของอักษรที่จะรู้จำ ให้เหลือแต่โครงร่างที่มีความหนาบางเท่ากันตลอด ไม่ว่าอักษรนั้นจะมีความหนาบางเริ่มแรกเท่าใดก็ตาม การแปลงภาพบิตเมตริกซ์ของอักษรให้เหลือแต่เพียงโครงร่างของอักษรนี้อาจเรียกได้ว่า เป็นการลดความหนาของเมตริกซ์ของอักษรนั่นเอง (thining) ตัวอย่างของเส้นแสดงโครงร่างอักษรแสดงได้ดังรูปที่ 2.3

เมื่อได้เส้นแสดงโครงร่างอักษรแล้ว ก็จะนำเส้นแสดงโครงร่างอักษรนี้ไปใช้ในการวิเคราะห์ โดยลักษณะสำคัญที่อาจนำมาใช้ในการวิเคราะห์ได้แก่ จุดที่เกิดจากการตัดกันของเส้นสองเส้น จุดที่เส้นสามเส้นมาเชื่อมต่อกัน และ จุดปลายของเส้น เป็นต้น นอกจากนี้อาจมีการให้รหัสแก่เส้นแสดงโครงร่างอักษร เช่น ให้รหัสที่ใช้แสดงทิศทางแก่เส้นแสดงโครงร่างอักษรตามลักษณะทิศทางที่เส้นแสดงโครงร่างอักษรเปลี่ยนแปลงไป หรือ ให้รหัสที่แสดงถึงความหนาแน่นและการกระจายของจุดที่เป็น 1 ในภาพบิตเมตริกซ์ของอักษรตามแนวแถวและแนวสดมภ์ เป็นต้น นอกจากนี้แล้วอาจมีการนำเส้นแสดงโครงร่างอักษรไปใช้หาขนาดความกว้างและความสูงของอักษรสำหรับนำมาใช้ในการวิเคราะห์ก็ได้

เนื่องจากเทคนิคนี้ เมื่อนำมาใช้กับอักษรซึ่งมีโครงสร้างที่ซับซ้อน และประกอบด้วยเส้นโค้งเป็นส่วนใหญ่ ดังเช่น อักษรไทย แล้ว จะมีผลให้การที่จะได้เส้นแสดงโครงร่างอักษรที่สมบูรณ์เป็นไปได้ลำบาก ตัวอย่างเช่น ในกรณีที่อักษรมีลักษณะคล้ายกัน เช่น ก กับ ก ซึ่งเมื่อพิจารณาแล้วจะเห็นได้ว่า อักษรทั้งสองมีลักษณะที่แตกต่างกัน อยู่เพียงประการเดียวเท่านั้น คือ ตัวหนึ่งมีหัว และอีกตัวหนึ่งไม่มีหัว ส่วนลักษณะอื่นนอกจากนั้นเหมือนกันหมด ซึ่งในกรณีเช่นนี้ถ้าหากว่า ก มีส่วนที่เป็นหัวเล็กมาก ก็จะมีผลทำให้ได้เส้นแสดงโครงร่างอักษรที่เหมือนกับ ก ได้ ดังนั้นเทคนิคนี้จึงเหมาะที่จะนำไปประยุกต์ใช้กับอักษรประเภทที่ประกอบด้วยเส้นตรงเป็นส่วนใหญ่ เช่น อักษรจีน อักษรเกาหลี เป็นต้น



```

00000000000000000000
00000000000000000000
00000000000000000000
00000000000000000000
00001111111110000000
0111000000001000000
0000110000001000000
0001000000001000000
0110000000001000000
0010000000001000000
0010000000001000000
0010000000001000000
0010000000001000000
0010000000001000000
0010000000001000000
0010000000001000000
0010000000001000000
0010000000001000000
00000000000000000000
00000000000000000000
00000000000000000000

```

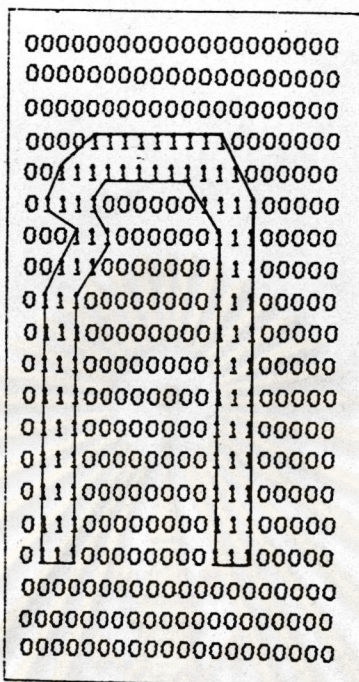
รูปที่ 2.3 ตัวอย่างภาพบิตแมตริกซ์ของเส้นแสดงโครงร่างอักษร (ซมทิท พรพนมชัย, 2529) ของตัวเลข 1 ที่เรียงติดต่อกัน แสดงให้เห็นเส้นแสดงโครงร่างอักษร

#### ข. การวิเคราะห์เส้นแสดงขอบของอักษร (contour)

เส้นแสดงขอบอักษร ดังในรูปที่ 2.4 หมายถึง เส้นต่างๆ ที่ประกอบกันขึ้นเป็นอักษร 1 ตัว เส้นเหล่านี้จะมีลักษณะโครงสร้างความโค้งงอที่ซับซ้อนแตกต่างกันขึ้นกับว่าเป็นอักษรใด เช่น อักษร ก จะเห็นว่ามีความโค้งงอที่ซับซ้อนมากนัก คือมีเพียงไม่กี่ส่วนของอักษรที่มีความโค้งงอ แต่ถ้าเป็น อักษร ต จะพบว่าลักษณะโครงสร้างความโค้งงอมีความซับซ้อนมากกว่า อักษร ก คือมีความโค้งงอที่หลายส่วนของอักษร เป็นต้น

เทคนิคนี้ จะนำลักษณะโครงสร้างความโค้งงอของอักษรมานำใช้เป็นลักษณะสำคัญในการวิเคราะห์ จึงเหมาะที่จะนำไปประยุกต์ใช้กับอักษรประเภทที่ประกอบด้วยเส้นโค้งเป็นส่วนใหญ่ เช่น อักษรไทย เป็นต้น





รูปที่ 2.4 ตัวอย่างภาพบิตเมตริกซ์ของเส้นแสดงขอบของอักขระ (ซมกิท พรพนมชัย, 2529) ของตัวเลข 1 ที่เรียงติดต่อกันตามแนวเส้น แสดงให้เห็นเส้นแสดงขอบของอักขระ

2.2 การวิจัยเกี่ยวกับการรู้จำอักขระไทยในอดีต

พิพัฒน์ หิรัญชัยชกร และคนอื่น ๆ (1982, 1984, and 1985)

ค.ศ. 1982 เสนอวิธีการรู้จำตัวพิมพ์อักขระไทยโดยการวิเคราะห์เส้นแสดงขอบของอักขระ และให้รหัสเพื่อแสดงทิศทางที่เปลี่ยนไปตามลักษณะความโค้งเว้าของเส้นแสดงขอบของอักขระ โดยนำหลักพื้นฐานทางคณิตศาสตร์มาใช้เพื่อกำจัดสัญญาณรบกวน แล้วตัดส่วนความโค้งเว้าของเส้นแสดงขอบของอักขระออกเป็นส่วนย่อย จากนั้นจึงนำลักษณะทางเรขาคณิตของส่วนโค้งที่ตัดได้ ได้แก่ ความยาวของส่วนโค้ง ระยะห่างระหว่างจุดเริ่มต้นกับจุดสิ้นสุดของส่วนโค้ง ระยะห่างระหว่างจุดเริ่มต้นกับจุดศูนย์กลาง (centroid) ของส่วนโค้ง ระยะห่างระหว่างจุดสิ้นสุดกับจุดศูนย์กลางของส่วนโค้ง และ มุมที่เกิดจากการทำมุมกันของเส้นที่ลากจากจุดศูนย์กลางไปยังจุดเริ่มต้นกับเส้นที่ลากจากจุดศูนย์กลางไปยังจุดสิ้นสุดของส่วนโค้ง ลักษณะทางเรขาคณิตเหล่านี้จะนำมาใช้ในการคำนวณค่าความคล้าย (similarity) ระหว่างส่วนโค้งของอักขระที่รับเข้ามากับส่วนโค้งของอักขระต้นแบบ เมื่อได้ค่าความคล้ายระหว่างแต่ละคู่ส่วนโค้งของอักขระแล้ว



ก็จะนำไปใช้ในการคำนวณค่าความคล้ายระหว่างอักขระ ผลที่ได้จากการวิจัยมีความถูกต้อง  
98.2 เปอร์เซ็นต์

ค.ศ. 1984 เสนอวิธีการรู้จำตัวพิมพ์อักขระไทยโดยการวิเคราะห์เส้นแสดงขอบของ  
อักขระ และนำรหัสแบบลูกโซ่ของฟรีแมนกับความแตกต่างของทิศทางของเส้นแสดงขอบของอักขระ  
มาใช้ เพื่อกำจัดสัญญาณรบกวนและตัดส่วนความโค้งเว้าของอักขระ โดยใช้จุดที่เส้นแสดงขอบของ  
อักขระมีการเปลี่ยนทิศทาง ทำให้ได้ส่วนโค้งย่อยออกมา จากนั้นจะดึงลักษณะทางโลคอลของ  
ส่วนโค้งเหล่านั้นออกมาได้แก่ความยาวของแต่ละส่วนโค้งย่อย ลักษณะทางโลคอลที่ดึงออกมานี้จะ  
นำมาใช้ในการคำนวณค่าความคล้ายระหว่างส่วนโค้งของอักขระที่รับเข้ามากับส่วนโค้งของอักขระ  
ต้นแบบ เมื่อได้ค่าความคล้ายระหว่างแต่ละคู่ส่วนโค้งของอักขระแล้ว ก็จะนำไปใช้ในการคำนวณ  
ค่าความคล้ายระหว่างอักขระ ผลที่ได้จากการวิจัยมีความถูกต้อง 99.4 เปอร์เซ็นต์

ค.ศ. 1985 เสนอวิธีการรู้จำลายมือเขียนอักขระไทยโดยนำลักษณะทางโลคอลมาใช้  
และนำรหัสแบบลูกโซ่ของฟรีแมน กับ ความแตกต่างของทิศทางของเส้นแสดงขอบของอักขระมาใช้  
เพื่อตัดส่วนความโค้งของอักขระ การสร้างพจนานุกรมเริ่มจากการคำนวณค่าความคล้ายระหว่าง  
ส่วนโค้งของอักขระที่รับเข้ามากับส่วนโค้งของอักขระต้นแบบ โดยในการคำนวณค่าความคล้ายนี้  
จะนำลักษณะทางโลคอลของส่วนโค้งมาใช้ ได้แก่ ความยาวของแต่ละส่วนโค้งย่อย จากนั้นจึง  
นำค่าความคล้ายระหว่างแต่ละคู่ส่วนโค้งของอักขระที่ได้ มาใช้ในการคำนวณค่าความคล้าย  
ระหว่างอักขระ ส่วนโค้งที่คล้ายกันจะได้จากกลุ่มที่ต่างกันของอักขระ เพื่อสร้างพจนานุกรมของ  
ส่วนโค้ง และ สร้างพจนานุกรมของอักขระซึ่งประกอบด้วยรายชื่อส่วนโค้งของอักขระ ผลที่ได้  
จากการวิจัยมีความถูกต้อง 88.9 เปอร์เซ็นต์

#### ชม กิมปาน และคนอื่น ๆ (1983, 1987, and 1989)

ค.ศ. 1983 นำวิธีการซ้อนทับ (matching method) มาใช้รู้จำตัวพิมพ์อักขระไทย  
โดยแบ่งเป็น 2 ขั้นตอน ในขั้นตอนของการแบ่งกลุ่มอักขระ รูปร่างปลีกย่อยที่ไม่จำเป็นและสัญญาณ  
รบกวนจะถูกกำจัด โดยวิธีการทำอักขระให้เบลอ (blurring method) วิธีการทำอักขระให้  
เบลอนี้ทำโดยการค้นหาข้อมูลที่มีค่าเป็น 1 ในเมตริกซ์ของอักขระทีละแถว โดยเริ่มจากแถวแรก  
ไปจนถึงแถวสุดท้าย ถ้าพบข้อมูลที่มีค่าเป็น 1 ก็จะเปลี่ยนข้อมูลที่อยู่รอบๆ ตำแหน่งนั้นให้มีค่า  
เป็น 1 ด้วย อักขระที่เบลอแล้ว (blurred characters) จะถูกแบ่งเป็นกลุ่มๆ โดยใช้วิธีวัด  
ค่าสัมประสิทธิ์ความเหมือนของแต่ละรูปแบบ และใช้การกระจายแบบคาร์ยูเนนโอบหารูปแบบ  
มาตรฐานเพื่อเป็นตัวแทนของแต่ละกลุ่ม ในขั้นตอนของการแยกอักขระออกจากกลุ่มใช้วิธีซ้อนทับ



เป็นส่วนๆ (subpattern matching) เพื่อแยกอักขระออกจากกัน ผลที่ได้จากการวิจัยมีความถูกต้อง 98.2 เปอร์เซ็นต์

ค.ศ.1987 เสนอการรู้จำตัวพิมพ์อักษรไทย โดยใช้การกระจายแบบคาร์ยูเนนโลบ แบ่งเป็น 2 ชั้นตอน ชั้นตอนแรกเป็นการแบ่งกลุ่มอักขระ ไอเกนเวกเตอร์ที่มีค่าไอเกนสูงสุดใน การกระจายแบบคาร์ยูเนนโลบถูกนำมาใช้เป็นรูปแบบมาตรฐานของแต่ละกลุ่มอักขระ ชั้นตอนที่สอง เป็นการแยกอักขระออกจากกลุ่ม ไอเกนเวกเตอร์ที่ไม่ได้ใช้ในชั้นแรกจะถูกนำมาใช้โดยหาฟังก์ชัน การตัดสินใจแบบเชิงเส้นบนระนาบไอเกนเวกเตอร์ที่ได้จากการกระจายแบบคาร์ยูเนนโลบ เพื่อ แยกอักขระออกจากกลุ่ม ผลที่ได้จากการวิจัยมีความถูกต้อง 98 เปอร์เซ็นต์

ค.ศ.1989 เสนอการรู้จำตัวพิมพ์อักษรไทยโดยใช้วิธีค้นหาจุดเด่นของอักขระ (feature concentrated method) ในการเตรียมข้อมูลของอักขระ จากนั้นจะเป็นการหา ลักษณะเด่นของอักขระ โดยการหาคอนเซ็นเทรทเวิร์ด (concentrated word) ณ จุดศูนย์กลาง ผลที่ได้จากการวิจัยมีความถูกต้อง 90 เปอร์เซ็นต์

#### Ding-Chern, Hor (1985)

เสนอระบบการรู้จำลายมือเขียนตัวเลขไทยที่ประกอบด้วยหลายชั้นตอน ซึ่งในขั้นแรก นำวิธีการจับคู่อย่างง่าย (simple similarity matching) มาใช้ เพื่อเลือกรูปแบบที่น่าจะเป็นไปได้ที่ต่ำที่สุดเก็บไว้ 9 รูปแบบ และนำเทคนิคที่ใช้ลักษณะทางโกลบอล เพื่อดึงลักษณะสำคัญ มาใช้สำหรับการรู้จำในขั้นแรก ต่อมาจึงได้นำการวิเคราะห์โครงสร้างแบบซิงแทกติกทรี (syntactic tree) ซึ่งได้รวมเอา อัลกอริทึมการติดตามรหัสแบบลูกโซ่ของฟรีแมน (Freeman chain code tracing algorithm) การดึงพริมิตีฟ (primitive) การทำโพสฟิกทรี (postfix tree) การคำนวณระยะห่างระหว่างทรี (tree) เข้าไว้ด้วยกันสำหรับการรู้จำในขั้นสุดท้ายนี้ ผลที่ได้จากการวิจัยมีความถูกต้อง 99.5 เปอร์เซ็นต์

#### ชัมทิพ พรพนมชัย (1986)

เสนอวิธีการรู้จำอักษรไทยซึ่งอยู่ในรูปแบบของตัวพิมพ์ดีด โดยอักขระที่นำมาใช้ได้ มาจากการจัดเตรียมให้อยู่ในรูปของภาพบิตเมตริกซ์ และ เป็นอักขระที่ปราศจากสัญญาณรบกวน ในเบื้องต้นได้สร้างอักขระภาษาไทยในรูปตัวพิมพ์จำนวน 5 ชุด สำหรับใช้เป็นอักขระต้นแบบ ในการหาผลลัพธ์ของการรู้จำ วิธีที่ใช้ในการรู้จำอักขระแบ่งเป็น 3 ชั้นตอน คือ ในขั้นแรกจะ



เป็นการเปลี่ยนภาพบิดเมตริกซ์ของอักษรให้เป็นเส้นแสดงโครงร่างอักษร ซึ่งถือได้ว่าเป็นขั้นตอนที่ใช้ในการลดความหนาของอักษร ในขั้นที่สองเป็นการเปลี่ยนเส้นแสดงโครงร่างอักษรให้อยู่ในรูปของรหัส ซึ่งรหัสเหล่านี้ หมายถึง ลักษณะของอักษรตามแนวแถวและแนวสดมภ์ ส่วนในขั้นสุดท้ายจะเป็นขั้นตอนของการสร้างความสัมพันธ์ระหว่างรหัสในขั้นที่สองกับอักษรต้นแบบที่สร้างไว้ ผลที่ได้จากการวิจัยมีความถูกต้อง 70 เปอร์เซ็นต์

วิลนพ ตันฤดี (1990)

เสนอระบบการรู้จำลายมือเขียนอักษรไทยที่ประกอบด้วยหลายขั้นตอน ซึ่งในขั้นตอนแรกเป็นการแบ่งกลุ่มรูปแบบคร่าวๆ ตามตำแหน่งจุดปลายทั้งสองเป็น 3 กลุ่มย่อย โดยกำหนดขอบเขตระดับการเขียนไว้ล่วงหน้า ต่อมาเป็นการหาลักษณะเด่นของรูปแบบตามรหัสแบบลูกโซ่ของฟรีแมน เพื่อกำหนดการแบ่งกลุ่มเป็น 32 กลุ่มอักษร ขั้นตอนการรู้จำรูปแบบไดนามิกโปรแกรมมิ่งระหว่างรูปแบบในกลุ่มทำเพื่อหารูปแบบอ้างอิงที่มีความแตกต่างน้อยที่สุด ผลที่ได้จะผ่านการตรวจสอบอีกครั้งหนึ่งจากภาคจัดการผลลัพธ์ระหว่างรูปแบบในกลุ่มใกล้เคียง ผลที่ได้จากการวิจัยมีความถูกต้อง 98.5 เปอร์เซ็นต์

ศูนย์วิทยทรัพยากร  
จุฬาลงกรณ์มหาวิทยาลัย



### 2.3 เทคนิคการวิเคราะห์เส้นแสดงขอบของอักษร

เป็นเทคนิคประเภทที่นำลักษณะทางโคคองมาใช้ คือจะมีการดึงลักษณะสำคัญของอักษรออกมา และเนื่องจากอักษรไทยส่วนใหญ่ประกอบขึ้นมาจากเส้นโค้ง ซึ่งมีโครงสร้างที่ซับซ้อน โดยลักษณะเฉพาะของเส้นโค้ง เป็นสิ่งที่มีความหมายสำคัญต่อการจัดแบ่งกลุ่มส่วนโค้ง ที่มีลักษณะคล้ายกัน และต่อการสร้างพจนานุกรมต้นแบบด้วย

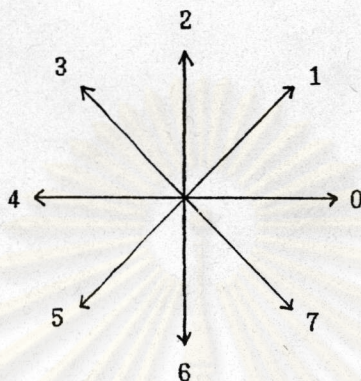
จากการพิจารณางานวิจัยต่างๆ เกี่ยวกับการรู้จำอักษรไทยนั้นพบว่า เทคนิคการวิเคราะห์เส้นแสดงขอบของอักษร เป็นเทคนิคหนึ่งที่น่าจะได้ว่ามีประสิทธิภาพสำหรับนำมาใช้ในการรู้จำ (Hiranvanichakorn, P., Agui, T., and Nakajima, M., 1984, 1985) โดยในงานวิจัยทั้งสองชิ้นนั้น ได้นำรหัสแบบลูกโซ่ของฟรีแมนกับความแตกต่างของทิศทางของเส้นแสดงขอบของอักษร มาใช้ในการตัดส่วนความโค้งเว้าของเส้นแสดงขอบของอักษรออกเป็น ส่วนโค้งย่อย จากนั้นก็มีการดึงลักษณะสำคัญของส่วนโค้งย่อยเหล่านั้นออกมาได้แก่ ความยาวของแต่ละส่วนโค้งย่อย ลักษณะสำคัญนี้จะถูกนำไปใช้ในการคำนวณค่าความคล้ายระหว่างส่วนโค้งและระหว่างอักษร เนื่องจากวิธีในการวิเคราะห์ลักษณะสำคัญที่ได้นำมาใช้ในการวิจัยทั้งสองนั้นเป็นวิธีที่ค่อนข้างจะซับซ้อนและใช้เวลาในการประมวลผลค่อนข้างมาก แต่อย่างไรก็ตามก็ยังเป็นวิธีที่ทำให้เกิดประสิทธิภาพในการนำไปใช้เพื่อการรู้จำอักษรไทย ดังนั้นในงานวิจัยนี้ จึงได้มีการปรับปรุงวิธีในการวิเคราะห์ลักษณะสำคัญที่ใช้กับงานวิจัยทั้งสองนั้น เพื่อให้มีความซับซ้อนลดน้อยลง และเหมาะสำหรับการนำไปใช้เพื่อการรู้จำตัวพิมพ์อักษรไทยหลายรูปแบบ

ในการวิจัยนี้ สิ่งที่น่านำมาใช้เพื่อตัดแบ่งเส้นแสดงขอบของอักษร ซึ่งมีลักษณะทั้งที่เป็น ส่วนเว้า (concavity) และ ส่วนนูน (convexity) ออกเป็นส่วนย่อย คือ รหัสแบบลูกโซ่ของฟรีแมน ซึ่งเป็นรหัสทิศทางที่มีทิศทางทั้งหมด 8 ทิศทาง ดังในรูปที่ 2.5 โดยจะกำหนดรหัสนี้ให้กับทุกจุดบนเส้นแสดงขอบของอักษร จากนั้นก็จะตรวจหาจุดที่ทำให้เกิดการเปลี่ยนแปลงทิศทางบนเส้นแสดงขอบของอักษรโดยพิจารณาจากค่ารหัสทิศทาง  $F_i$  ที่เปลี่ยนไป เมื่อได้จุดที่ทำให้เกิดการเปลี่ยนแปลงทิศทางบนเส้นแสดงขอบของอักษรแล้ว ก็จะมีการกำหนดค่าพร้อมทั้ง เครื่องหมาย + และ เครื่องหมาย - ให้กับจุดเปลี่ยนทิศทางเหล่านั้น เพื่อบอกถึงลักษณะการเปลี่ยนทิศทางว่ามีลักษณะตามเข็มนาฬิกาหรือทวนเข็มนาฬิกา โดยเครื่องหมายลบ (-) จะถูกกำหนดให้กับจุดที่ทำให้เกิดการเปลี่ยนทิศตามเข็มนาฬิกา และ เครื่องหมายบวก (+) จะถูกกำหนดให้กับจุดที่ทำให้เกิดการเปลี่ยนทิศทวนเข็มนาฬิกา จากนั้นก็จะเป็นขั้นตอนของการนำค่ารหัสทิศทาง  $F_i$  เครื่องหมาย + และ เครื่องหมาย - มาใช้ในการกำหนดจุดบ่งความนูน (เครื่องหมาย +) และ จุดบ่งความเว้า (เครื่องหมาย -) ซึ่งจุดบ่งความนูนและจุดบ่งความเว้าบนเส้นแสดงขอบของอักษรที่ได้ในขั้นสุดท้ายนี้ จะถูกนำมาใช้ประโยชน์ในการตัดแบ่งเส้นแสดง

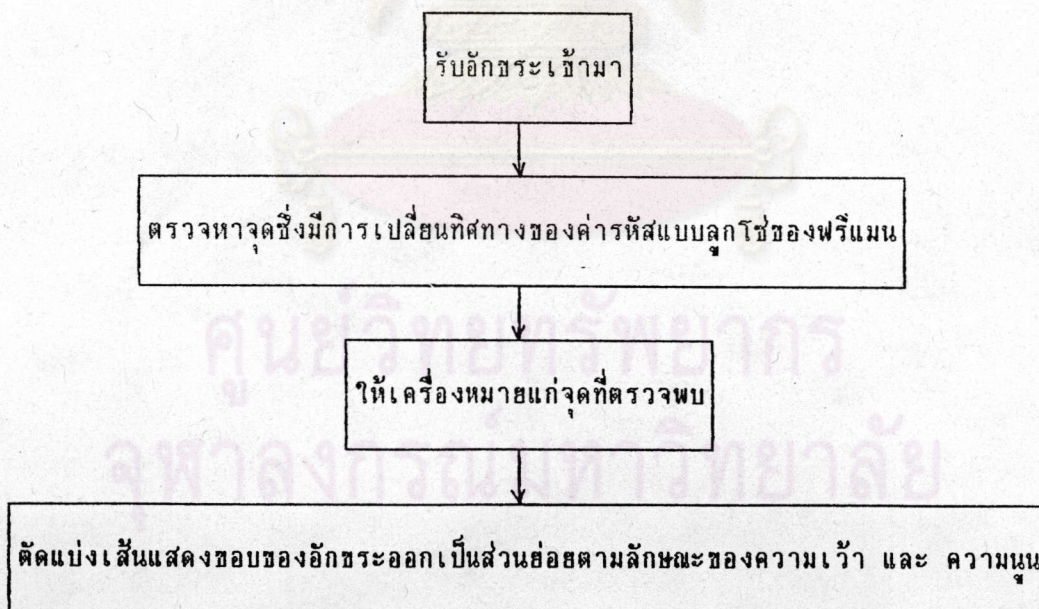


ขอบของอีกขระออกเป็นส่วนย่อยตามลักษณะของความเว้า (concave arc) และความนูน (convex arc) ต่อไป

จากขั้นตอนที่กล่าวมาทั้งหมดนี้สามารถสรุปออกมาเป็นแผนภาพได้ ดังแสดงในรูปที่ 2.6



รูปที่ 2.5 รหัสแบบลูกโซ่ของฟรีแมน ( $F_1$ )

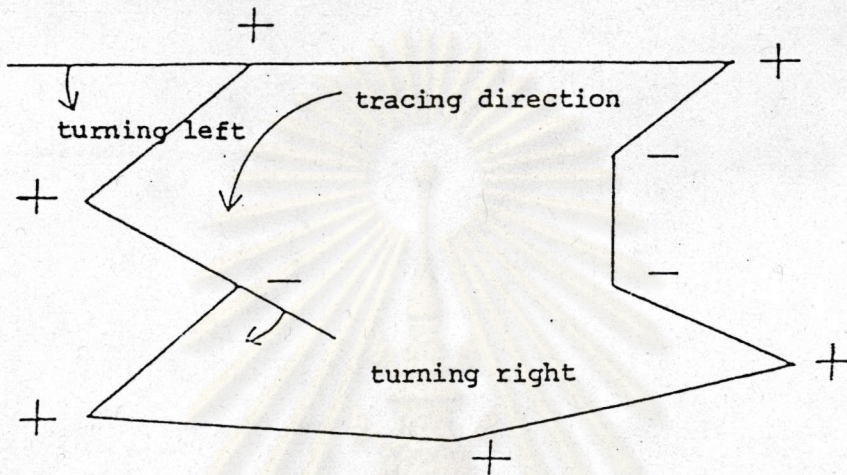


รูปที่ 2.6 แผนภาพแสดงการตัดแบ่งเส้นแสดงขอบของอีกขระออกเป็นส่วนย่อยตามลักษณะของความเว้า และ ความนูน (Hiranvanichakorn et al., 1984)

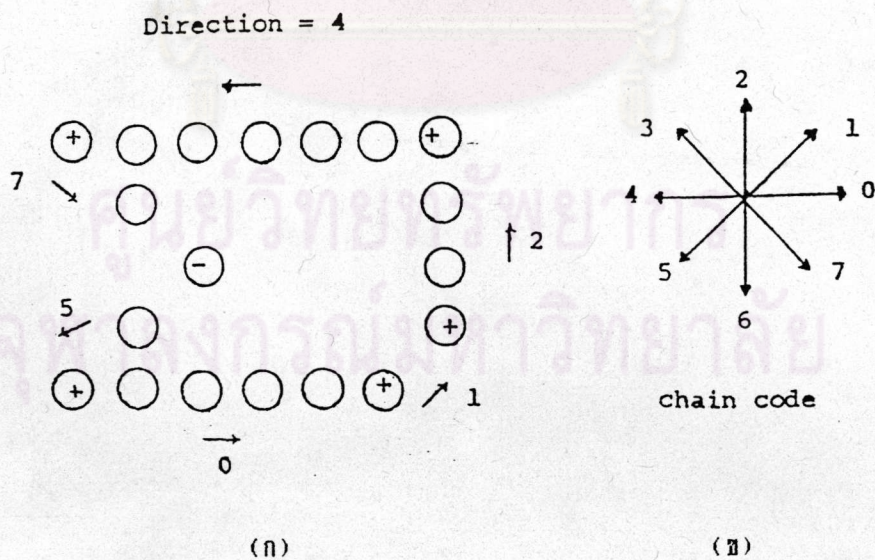


2.3.1 การตัดแบ่งเส้นแสดงขอบของอักขระออกเป็นเส้นโค้งย่อย

ดังในรูปที่ 2.7 จะเห็นว่าส่วนของรูปที่มีลักษณะของความเว้า และความนูน สามารถจะถูกตัดแบ่งออกเป็นเส้นย่อยได้โดยการให้เครื่องหมาย - หรือ เครื่องหมาย + ณ จุดที่มีการเปลี่ยนแปลงทิศทางว่าจะตามเข็มนาฬิกาหรือทวนเข็มนาฬิกา ตามลำดับ



รูปที่ 2.7 การให้เครื่องหมายแก่จุดที่มีการเปลี่ยนแปลงทิศทาง



รูปที่ 2.8 (ก) การให้เครื่องหมายตามการเปลี่ยนทิศทางของเส้นแสดงขอบของรูปที่ถูกเข้ารหัสทิศทางตามรูป (ข)  
 (ข) รหัสทิศทางแบบลูกโซ่ของฟรีแมน



แนวความคิดข้างต้นนี้สามารถประยุกต์ใช้กับเส้นแสดงขอบของรูปในเชิงดิจิทัล (digital contours) ได้ เพราะลำดับของจุดซึ่งประกอบกันขึ้นเป็นเส้นแสดงขอบของรูป (contour pixels) ที่มีค่ารหัสแบบบล็อกไจของฟรีแมนเหมือนกัน สามารถทำให้เกิดเป็นเส้นตรงขึ้น 1 เส้นได้ และทิศทางของเส้นตรงนี้จะทราบได้จากค่ารหัสแบบบล็อกไจของฟรีแมนนั่นเอง ดังนั้นถ้าหากให้เครื่องหมาย - และ เครื่องหมาย + แก่จุดที่ประกอบกันขึ้นเป็นเส้นแสดงขอบของรูป ณ ตำแหน่งที่มีการเปลี่ยนแปลงทิศทาง (ค่ารหัสแบบบล็อกไจของฟรีแมนเปลี่ยน) ดังแสดงในรูปที่ 2.8(ก) ก็จะทำให้สามารถตัดแบ่งเส้นแสดงขอบของรูปในเชิงดิจิทัลออกเป็นส่วนย่อยได้ตามลักษณะของความเว้า และ ความนูน

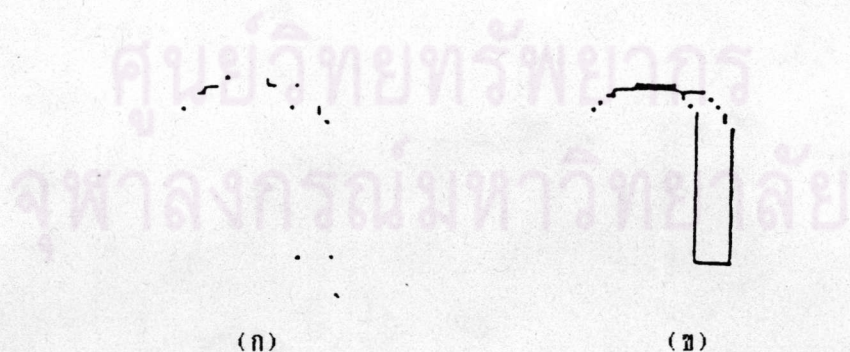
$$\text{กำหนด } P_n = (P_{x_n}, P_{y_n}) \quad : \quad n = 1, \dots, N$$

โดย  $P_n$  เป็นจุดที่  $n$  บนเส้นแสดงขอบของอักขระบนระนาบ X-Y  
 $N$  เป็นจำนวนจุดทั้งหมดบนเส้นแสดงขอบของอักขระ

และ  $DD_{i,j}$  เป็นระยะทางระหว่างจุดที่  $i$  และ จุดที่  $j$

เมื่อ  $DD_{i,j} = (\text{จำนวนจุดซึ่งอยู่ระหว่างจุดที่ } i \text{ และ จุดที่ } j) + 1$

จุดซึ่งมีการเปลี่ยนแปลงทิศทางตามรหัสแบบบล็อกไจของฟรีแมน และไม่ใช่จุดซึ่งเป็นสัญญาณรบกวนจะถูกตรวจพบได้ ในรูปที่ 2.9(ก) จะแสดงให้เห็นถึงจุดที่มีการเปลี่ยนแปลงทิศทางบนเส้นแสดงขอบของอักขระที่ถูกตรวจพบได้ จากอักขระในรูปที่ 2.9(ข)



รูปที่ 2.9 ตัวอย่างของจุดซึ่งมีการเปลี่ยนแปลงทิศทางตามรหัสแบบบล็อกไจของฟรีแมน  
 (ก) จุดที่มีการเปลี่ยนแปลงทิศทางบนเส้นแสดงขอบของอักขระ  
 (ข) อักขระเดิมของรูปที่ 2.9(ก)



กำหนด  $C_i = (C_{x_i}, C_{y_i}) \quad : \quad i = 1, \dots, I$

โดย  $C_i$  เป็นลำดับของจุดที่มีการเปลี่ยนทิศทางตามรหัสแบบลูกโซ่ของฟรีแมน

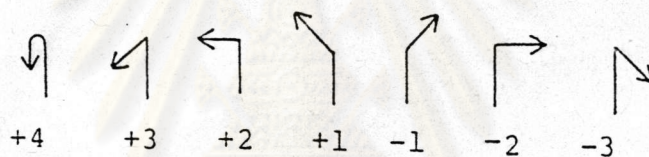
กำหนด  $F_i \in \{0, 1, 2, 3, 4, 5, 6, 7\}$

โดย  $F_i$  เป็นค่ารหัสแบบลูกโซ่ของฟรีแมน ของจุด  $C_i$

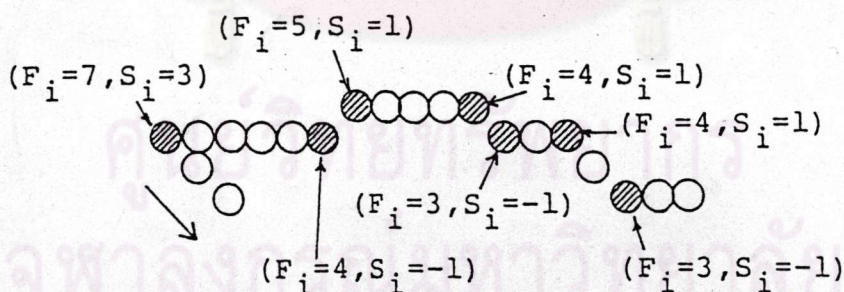
และ  $S_i \in \{1, 2, 3, 4, -1, -2, -3\}$

โดย  $S_i$  เป็นเครื่องหมายซึ่งจะกำหนดให้กับจุด  $C_i$  แต่ละจุด ตามลักษณะการเปลี่ยนทิศทาง ดังแสดงในรูปที่ 2.10

ในรูปที่ 2.11 เป็นตัวอย่างการให้เครื่องหมาย  $S_i$  และ ค่ารหัส  $F_i$



รูปที่ 2.10 เครื่องหมาย  $S_i$



รูปที่ 2.11 ตัวอย่างการให้เครื่องหมาย  $S_i$  และ ค่ารหัส  $F_i$

การกำหนดจุดบ่งความหนา (vertice +) และจุดบ่งความเงา (vertice -) ให้แก่จุด  $C_i$  (จุดที่มีการเปลี่ยนทิศทาง) เพื่อใช้ในการตัดแบ่งเส้นแสดงขอบของอักขระออกเป็น ส่วนโค้งย่อย มีข้อกำหนดดังนี้



ข้อกำหนดที่ 1 : จุดบ่งความหนา จะถูกกำหนดให้แก่จุด  $C_i$  ถ้าจุด  $C_i$  สอดคล้องกับเงื่อนไขใดเงื่อนไขหนึ่ง ดังต่อไปนี้

1.1  $(S_i > 0)$  และ  $(S_{i-1} > 0$  หรือ  $S_{i+1} > 0)$

1.2  $(S_i > 0)$  และ  $(S_{i-1} < 0)$  และ  $(S_{i+1} < 0)$

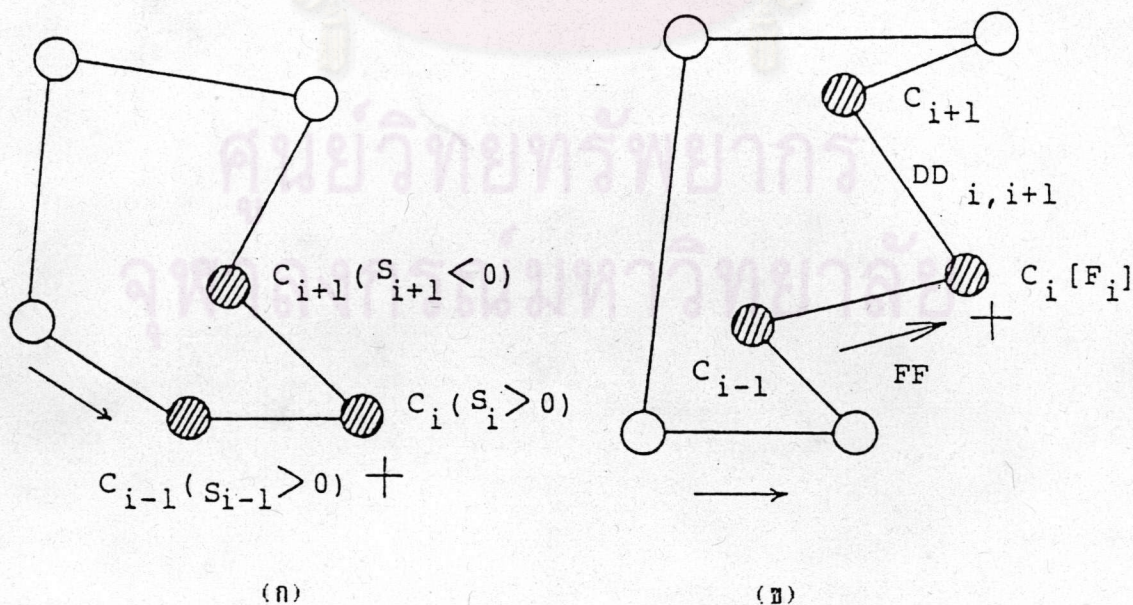
และ  $(F_i \neq FF)$  และ  $(DD_{i,i+1} \geq K1)$



โดย  $DD_{i,i+1}$  เป็นระยะห่างระหว่างจุด  $C_i$  และ จุด  $C_{i+1}$   
 เมื่อ  $DD_{i,i+1} = (\text{จำนวนจุดซึ่งอยู่ระหว่างจุดที่ } i \text{ และ จุดที่ } i+1) + 1$  (2.1)

และ  $FF$  เป็นค่ารหัสแบบลูกโซ่ของฟรีแมนของจุดซึ่งตรวจพบก่อนที่จะถึงจุด  $C_i$   
 $K1$  เป็นค่าคงที่ ซึ่งได้จากการทดลองกับข้อมูลทดสอบ

ถ้าจุด  $C_i$  ถูกกำหนดให้เป็นจุดบ่งความหนา และ  $DD_{i,i+1}$  มีค่ามากกว่า  $K2$  แล้ว ค่า  $FF$  จะถูกกำหนดให้มามีค่าใหม่ตามค่าของ  $F_i$  โดย  $FF$  จะถูกกำหนดให้มามีค่าเริ่มต้นเป็น 4 และ  $K2$  เป็นค่าคงที่ ซึ่งได้จากการทดลองกับข้อมูลทดสอบ ในรูปที่ 2.12 จะเป็นตัวอย่างของจุด  $C_i$  ที่ถูกกำหนดให้เป็นจุดบ่งความหนา ตามข้อกำหนดข้างต้น



รูปที่ 2.12 ตัวอย่างการกำหนดจุดบ่งความหนาให้แก่จุด  $C_i$



ข้อกำหนดที่ 2 : จุดบ่งความเว้า จะถูกกำหนดให้แก่จุด  $C_1$  ถ้าจุด  $C_1$  สอดคล้องกับเงื่อนไขใดเงื่อนไขหนึ่ง ดังต่อไปนี้

$$2.1 \quad (S_1 < 0) \text{ และ } (S_{i-1} < 0 \text{ หรือ } S_{i+1} < 0)$$

$$2.2 \quad (S_1 < 0) \text{ และ } (S_{i-1} > 0) \text{ และ } (S_{i+1} > 0)$$

$$\text{และ } (F_1 \neq FF) \text{ และ } (DD_{1..i+1} \geq K1)$$

เมื่อมีการกำหนดจุดบ่งความนูนและจุดบ่งความเว้าให้แก่จุด  $C_1$  แล้ว ก็จะทำให้สามารถตัดแบ่งเส้นแสดงขอบของอักขระออกเป็นส่วโค้งย่อย ตามลักษณะของความเว้าและความนูนได้ต่อไป

#### คำจำกัดความของส่วนโค้งเว้า และส่วนโค้งนูน

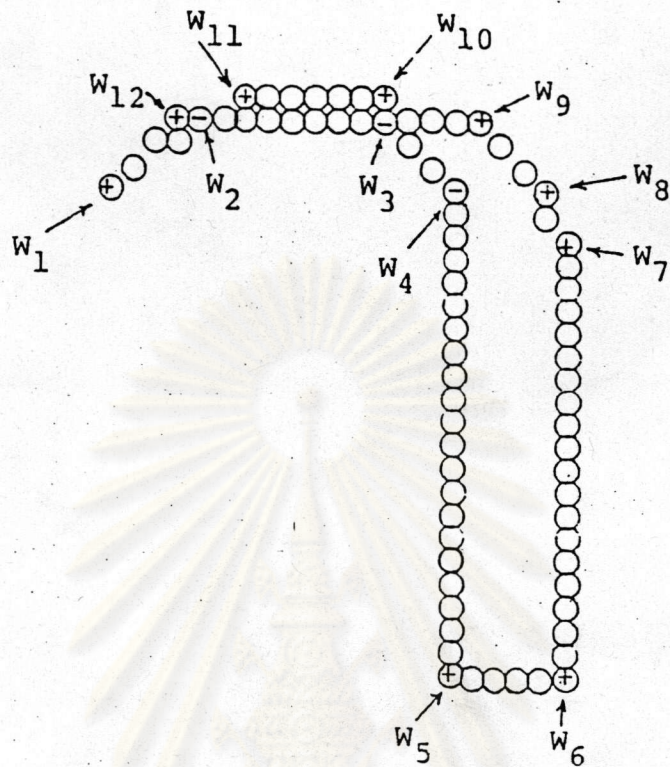
ส่วนโค้งเว้า คือ ส่วนของเส้นโค้งที่ผ่านจุดบ่งความเว้า ซึ่งอยู่ระหว่างจุดบ่งความนูน 2 จุด โดยจุดบ่งความนูนทั้งสองจุดจะเป็นจุดปลายทั้งสองของส่วนโค้งเว้านั้น

ส่วนโค้งนูน คือ ส่วนของเส้นโค้งที่ผ่านจุดบ่งความนูน ซึ่งอยู่ระหว่างจุดบ่งความเว้า 2 จุด โดยจุดบ่งความเว้าทั้งสองจุดจะเป็นจุดปลายทั้งสองของส่วนโค้งนูนนั้น

ตัวอย่างของการกำหนดจุดบ่งความนูน และ จุดบ่งความเว้า แก่อักขระในรูปที่ 2.9(ข) แสดงได้ดังในรูปที่ 2.13

ดังนั้นจุดเริ่มต้น และ จุดสุดท้าย ของส่วนโค้งนูน (หรือ ส่วนโค้งเว้า) จะเป็นจุดบ่งความเว้า (หรือจุดบ่งความนูน) ดังแสดงในรูปที่ 2.13 ซึ่งจะเห็นว่าส่วนที่ผ่าน จุด  $W_4, W_5, W_6, W_7, W_8, W_9, W_{10}, W_{11}, W_{12}, W_1$  และ  $W_2$  จะเป็นส่วนโค้งนูน และ ส่วนที่ผ่านจุด  $W_1, W_2, W_3, W_4$  และ  $W_5$  จะเป็นส่วนโค้งเว้า





รูปที่ 2.13 ตัวอย่างของอักขระไทยที่มีการกำหนดจุดบ่งความหนาและจุดบ่งความเว้า

### 2.3.2 ฟีเจอร์ของอักขระ

เนื่องจากอักขระไทยมีจำนวนมาก ดังนั้นลักษณะทางโกลบอลของเส้นแสดงขอบของอักขระได้แก่ จำนวนหัวของอักขระ (H) จำนวนส่วนของอักขระในกรณีที่อักขระนั้นเขียนในลักษณะแยกจากกัน (R) เช่น ญ จะมีค่า  $R = 2$  จำนวนส่วนโค้งทั้งหมดของอักขระ (Z) คือ ทั้งส่วนโค้งเว้า และส่วนโค้งนูนรวมกัน จะถูกนำมาใช้ในการจัดแบ่งกลุ่มของอักขระ

นอกจากนี้แล้ว วิธีที่นับได้ว่ามีประสิทธิภาพวิธีหนึ่งในการรู้จำอักขระไทย ก็คือ วิธีการในการนำเอาส่วนโค้งย่อย ที่ได้จากการตัดแบ่งเส้นแสดงขอบของอักขระ มาใช้เป็นลักษณะสำคัญในการรู้จำอักขระ (Hiranvanichakorn et al., 1984, 1985) คือ จะมีการตัดแบ่งส่วนโค้งแต่ละส่วนโค้งออกเป็นส่วนย่อยอีกครั้งหนึ่ง โดยจะใช้จุดที่ส่วนโค้งมีการเปลี่ยนทิศทางเป็นตำแหน่งในการตัดแบ่ง ซึ่งจะทำได้ลักษณะทางโกลบอลของส่วนโค้งออกมาเช่น ความยาวของแต่ละส่วนที่ตัดแบ่งออกมาได้ ลักษณะทางโกลบอลที่ได้ออกมานี้จะถูกนำไปใช้ประโยชน์ในการเปรียบเทียบเพื่อหาส่วนโค้งคู่ที่มีความคล้ายกันมากที่สุด จากนั้นก็จะใช้ส่วนโค้งคู่ที่มีความคล้ายกันมากที่สุดนี้เป็นตำแหน่ง เริ่มต้นสำหรับการเปรียบเทียบเพื่อหาอักขระที่มีความคล้ายกันมากที่สุดต่อไป



## 2.4 ไดนามิกโปรแกรมมิ่ง

### 2.4.1 การเปรียบเทียบแบบไดนามิกโปรแกรมมิ่ง

การเปรียบเทียบแบบไดนามิกโปรแกรมมิ่งถือว่าเป็นอัลกอริทึมในการเปรียบเทียบรูปแบบที่มีการปรับตัวยืดหยุ่นทางแกนเวลา ซึ่งจะทำให้เกิดประสิทธิภาพในการนำไปใช้งาน ดังนั้นไดนามิกโปรแกรมมิ่งจึงได้มีการนำไปใช้กันอย่างกว้างขวางสำหรับการรู้จำรูปแบบของเสียงพูด และการรู้จำอักขระแบบออนไลน์ (Sakoe, H. and Chiba, S., 1978) ในการวิจัยนี้จึงได้นำอัลกอริทึมของการเปรียบเทียบแบบไดนามิกโปรแกรมมิ่งมาประยุกต์ใช้กับการรู้จำอักขระไทยในระบบออฟไลน์ เนื่องจากเมื่อนำมาใช้กับการรู้จำอักขระในระบบออฟไลน์แล้วก็สามารถที่จะทำให้เกิดการปรับตัวยืดหยุ่นในเรื่องขนาดของตัวพิมพ์อักขระซึ่งมีทั้งขนาดเล็กและขนาดใหญ่ได้ ทำให้สามารถรู้จำอักขระที่มีรูปแบบเดียวกันได้ทั้งขนาดเล็กและขนาดใหญ่ ซึ่งจะเป็นการช่วยลดขั้นตอนของการปรับอักขระให้มีขนาดตามที่กำหนดลงได้ด้วย

### 2.4.2 หลักการของการเปรียบเทียบแบบไดนามิกโปรแกรมมิ่ง

#### 2.4.2.1 ค่าจำกัดความของความแตกต่างที่มีการปรับตัวยืดหยุ่นทางแกนเวลา

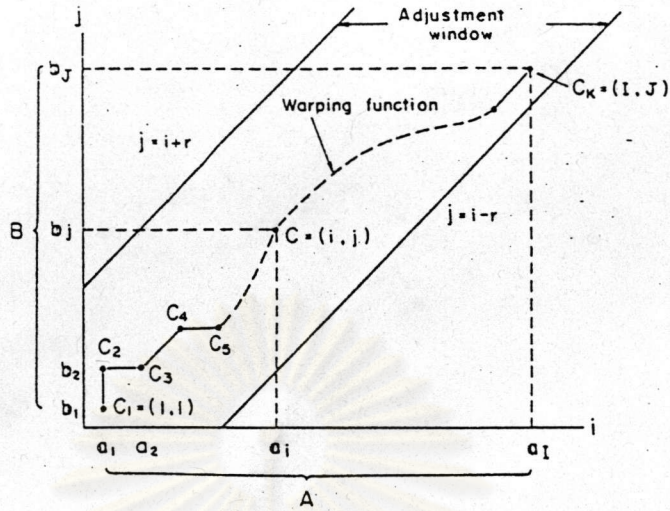
รูปแบบของเสียงพูด สามารถแทนได้โดยการดึงลักษณะสำคัญของรูปแบบนั้นๆ ออกมา และ เชื่อมแทนในลักษณะที่เป็นลำดับของเวกเตอร์ของรูปแบบ (feature vectors) ในแกนของเวลา ได้ดังนี้

$$A = a_1, a_2, a_3, \dots, a_i, \dots, a_n \quad (2.4ก)$$

$$B = b_1, b_2, b_3, \dots, b_j, \dots, b_m \quad (2.4ข)$$

การแก้ปัญหาในเรื่องความแตกต่างของเวลา (timing difference) ระหว่างรูปแบบ 2 รูปแบบนี้ สามารถอธิบายได้ดังรูปที่ 2.14 บนระนาบ  $i-j$  โดยให้แกน  $i$  แทนรูปแบบ  $A$  และ แกน  $j$  แทน รูปแบบ  $B$  ในกรณีที่รูปแบบอยู่ในกลุ่มเดียวกัน ความแตกต่างของเวลาระหว่างรูปแบบสามารถแทนได้โดยใช้ลำดับของจุด  $c = (i, j)$  ดังนี้





รูปที่ 2.14 ฟังก์ชันแวน์ปิ้ง  $F$  และ ข้อจำกัดของการปรับช่วงขอบเขต  $r$

$$F = c(1), c(2), \dots, c(k), \dots, c(K) \quad (2.5)$$

โดย  $c(k) = (i(k), j(k))$

ลำดับของจุดที่กล่าวถึงนี้ จะใช้แทน ฟังก์ชันซึ่งมีการจับคู่ (mapping) จากแกนเวลาของรูปแบบ A ไปบนแกนเวลาของรูปแบบ B และเรียกฟังก์ชันในลักษณะนี้ว่า ฟังก์ชันแวน์ปิ้ง (Warping function) ในกรณีที่ไม่มี ความแตกต่างของเวลา ระหว่างรูปแบบทั้งสอง ฟังก์ชันแวน์ปิ้งก็จะอยู่ในตำแหน่งของเส้นทะแยงมุม  $i = j$  และฟังก์ชันแวน์ปิ้งนี้จะเปลี่ยนแปลงไปจากตำแหน่งของเส้นทะแยงมุมถ้าหากมีความแตกต่างของเวลาเกิดขึ้น

ความแตกต่างของพีเชอร์เวกเตอร์ของรูปแบบ 2 เวกเตอร์ คือ  $a_i$  และ  $b_j$  คำนวณได้ดังนี้

$$d(c) = d(i, j) = | a_i - b_j | \quad (2.6)$$

ดังนั้นจะได้ ผลรวมของความแตกต่างที่ถูกถ่วงน้ำหนักบนฟังก์ชันแวน์ปิ้ง  $F$  ดังนี้

$$E(F) = \sum_{k=1}^K d(c(k)) \cdot w(k) \quad (2.7)$$

เมื่อ  $w(k)$  เป็นค่าสัมประสิทธิ์ที่ใช้ในการถ่วงน้ำหนัก และมีค่าเป็นบวกเสมอ ซึ่งค่า  $w(k)$  นี้จะเป็นค่าที่ทำให้มีการปรับตัวยึดหยุ่นกับค่าของ  $E(F)$



นอกจากนี้แล้ว การคำนวณค่า  $E(F)$  ยังเป็นการกระทำเพื่อให้เกิดความเหมาะสมต่อฟังก์ชันแวกซ์  $F$  ด้วย ซึ่งการคำนวณค่านี้จะให้ค่าที่น้อยที่สุดเมื่อสามารถหาค่าฟังก์ชันแวกซ์  $F$  ที่แน่นอนได้ เพื่อทำให้ได้ผลลัพธ์ที่ดีที่สุดต่อการปรับตัวของความแตกต่างของเวลา ดังนั้นค่าความแตกต่างระหว่างรูปแบบ A และรูปแบบ B ก็คือค่าความแตกต่างที่น้อยที่สุดที่เหลืออยู่หลังจากกำจัดความแตกต่างของเวลาออกไปแล้ว ซึ่งค่าความแตกต่างที่น้อยที่สุดนี้จะเป็นค่าที่คงที่เสมอโดยไม่ขึ้นกับการปรับตัวยัดหย่อนทางแกนเวลา นั่นคือความแตกต่างที่มีการปรับตัวยัดหย่อนทางแกนเวลาหารูปแบบ A และรูปแบบ B สามารถหาได้ดังนี้

$$D(A,B) = \text{Min}_F \frac{\sum_{k=1}^K d(c(k)) \cdot w(k)}{\sum_{k=1}^K w(k)} \quad (2.8)$$

โดย  $\sum w(k)$  จะถูกใช้เพื่อการถ่วงน้ำหนักสำหรับผลของค่า  $K$  เมื่อ  $K$  เป็นจำนวนจุดบนฟังก์ชันแวกซ์  $F$

สมการที่ 2.8 นั้นนอกจากจะแสดงให้เห็นถึงค่าจำกัดความพื้นฐานของความแตกต่างที่มีการปรับตัวยัดหย่อนทางแกนเวลาแล้ว คุณลักษณะอันมีประสิทธิภาพที่ได้จากสมการนี้ยังขึ้นกับ การกำหนดฟังก์ชันแวกซ์  $F$  และ ค่าสัมประสิทธิ์ที่ใช้ในการถ่วงน้ำหนักด้วยการวัดค่าความแตกต่างที่มีการปรับตัวยัดหย่อนทางแกนเวลาของลักษณะสำคัญจะเปลี่ยนแปลงไปตามคุณสมบัติของรูปแบบ ดังนั้นเพื่อหลีกเลี่ยงปัญหาที่อาจจะเกิดขึ้นจึงได้มีการกำหนดเงื่อนไขขึ้น 2 ข้อ ดังนี้

- ก. การสุ่มตัวอย่างของรูปแบบจะสุ่ม ณ ช่วงเวลาที่แน่นอนอันเดียวกัน สำหรับทุกรูปแบบ
- ข. เนื่องจากไม่ทราบว่ามีส่วนใดเป็นส่วนที่แสดงถึงลักษณะสำคัญของรูปแบบ ดังนั้นในกรณีนี้จึงควรจะให้ถือว่าทุกส่วนของรูปแบบเป็นส่วนที่แสดงถึงลักษณะสำคัญของรูปแบบเหมือนกันหมดทุกส่วน



### 2.4.2.2 ข้อจำกัดของฟังก์ชันแวน์ปึง

ฟังก์ชันแวน์ปึง  $F$  ที่กำหนดดังสมการที่ 2.5 นี้ เป็นแบบอันหนึ่งของการปรับตัวฮิดฮุ่นทางแกนเวลาของรูปแบบ ดังนั้นจึงควรมีการกำหนดคุณสมบัติของการปรับตัวฮิดฮุ่นทางแกนเวลาที่แท้จริงออกมา หรืออีกนัยหนึ่งฟังก์ชันแวน์ปึง  $F$  ซึ่งมีการจับคู่จากแกนเวลาของรูปแบบ  $A$  ไปบนแกนเวลาของรูปแบบ  $B$  ควรจะต้องสามารถเก็บลักษณะทางโครงสร้างที่สำคัญทางแกนเวลาของรูปแบบ  $A$  ไว้ให้ได้ และในทำนองกลับกันฟังก์ชันแวน์ปึง  $F$  ซึ่งมีการจับคู่จากแกนเวลาของรูปแบบ  $B$  ไปบนแกนเวลาของรูปแบบ  $A$  ก็ควรจะต้องสามารถเก็บลักษณะทางโครงสร้างที่สำคัญทางแกนเวลาของรูปแบบ  $B$  ไว้ให้ได้ด้วยเช่นเดียวกัน โครงสร้างที่สำคัญทางแกนเวลาของรูปแบบจะต้องมีลักษณะของความต่อเนื่อง (continuity) มีความสัมพันธ์กันในเรื่องของเวลาภายในรูปแบบหนึ่งๆ (monotonicity) เงื่อนไขเหล่านี้สามารถแสดงในรูปของข้อจำกัดของฟังก์ชันแวน์ปึง  $F$  หรือ จุด  $c(k) = (i(k), j(k))$  ได้ ดังนี้

ก. มีความสัมพันธ์กันในเรื่องของเวลาภายในรูปแบบหนึ่งๆ

$$i(k-1) \leq i(k) \text{ และ}$$

$$j(k-1) \leq j(k)$$

ข. มีลักษณะของความต่อเนื่อง

$$i(k) - i(k-1) \leq 1 \text{ และ}$$

$$j(k) - j(k-1) \leq 1$$

ผลจากข้อจำกัดของฟังก์ชันแวน์ปึง  $F$  ทั้งสองข้อข้างต้น ทำให้เกิดความสัมพันธ์ระหว่างจุดที่อยู่ติดกัน 2 จุด คือ

$$c(k-1) = \begin{cases} (i(k), j(k)-1), \\ (i(k)-1, j(k)-1), \\ \text{หรือ} (i(k)-1, j(k)) \end{cases}$$

ค. มีขอบเขต (boundary)

$$i(1) = 1, j(1) = 1 \text{ และ}$$

$$i(K) = I, j(K) = J$$

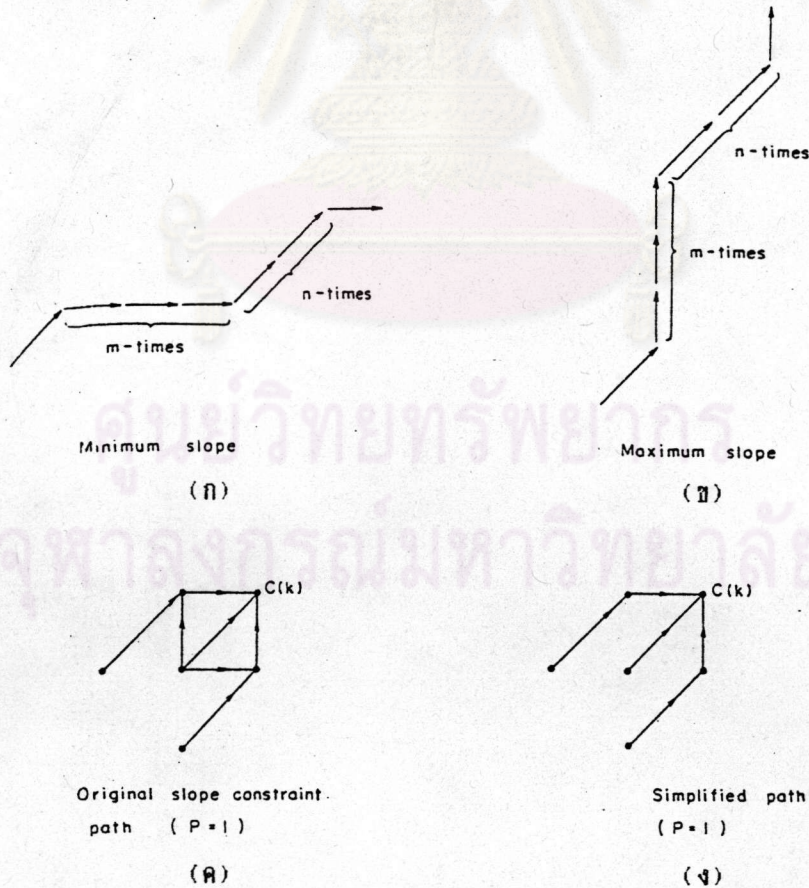


ง. มีการปรับช่วงขอบเขต  $r$  ได้  
 $| i(k) - j(k) | \leq r$

เมื่อ  $r$  เป็นจำนวนเต็มบวกที่มีค่าเหมาะสม และเรียกค่านี้ว่า ช่วงของขอบเขต (window length) ซึ่งข้อจำกัดนี้สอดคล้องกับความจริงที่ว่า การปรับตัวฮีดรอนทางแกนเวลาโดยทั่วไปแล้วจะไม่ทำให้เกิดความแตกต่างของเวลามากเกินไป

จ. มีข้อจำกัดของความชัน  $P$  (slope constraint)

ค่าของความชันนี้ไม่ว่าจะเปลี่ยนแปลงไปอย่างรวดเร็วหรือค่อยๆ เปลี่ยนไปก็ตามก็จะมีผลกระทบต่อฟังก์ชันแวน์ปึง  $F$  เช่นเดียวกัน ดังนั้นข้อจำกัดนี้จึงควรกำหนดให้เหมาะสมกับฟังก์ชันแวน์ปึง  $F$  และ ข้อจำกัดนี้อาจถูกพิจารณาว่าเป็นข้อจำกัดของความสัมพันธ์ที่เป็นไปได้ทั้งหมดระหว่างจุดที่อยู่ติดกันทุกจุดบนฟังก์ชันแวน์ปึง  $F$  ดังแสดงในรูปที่ 2.15(ก) และ รูปที่ 2.15(ข)



รูปที่ 2.15 ข้อจำกัดของความชันบนฟังก์ชันแวน์ปึง  $F$



จากรูปที่ 2.15(ก) และ 2.15(ข) สามารถจะอธิบายได้ ดังนี้ ถ้าจุด  $c(k)$  เคลื่อนไปข้างหน้าในทิศทางของแกน  $i$  (หรือ แกน  $j$ ) เป็นจำนวน  $m$  ครั้ง แล้วจุด  $c(k)$  จะต้องไม่เคลื่อนไปในทิศทางเดิม จนกว่าจะเคลื่อนไปในทิศทางของเส้นทะแยงมุม เป็นจำนวน  $n$  ครั้งเสียก่อน ประสิทธิภาพของความชันสามารถจะคำนวณได้ดังสมการต่อไปนี้

$$P = n / m \quad (2.9)$$

ถ้าค่า  $P$  ยิ่งมากเท่าใดฟังก์ชันแวลูบั้ง  $F$  ก็จะถูกจำกัดมากขึ้นเท่านั้น เมื่อ  $P = 0$  ก็จะไม่มีการจำกัดบนฟังก์ชันแวลูบั้ง  $F$  แต่ถ้าค่าของ  $P$  ไม่มีที่สิ้นสุด ( $P = \infty$  ซึ่งก็คือ  $m = 0$ ) แล้ว ฟังก์ชันแวลูบั้ง  $F$  ก็จะถูกจำกัดอยู่เฉพาะบนแนวเส้นทะแยงมุม  $i = j$  เท่านั้น ดังนั้นการกำหนดค่า  $P$  จึงควรกำหนดให้เหมาะสม คือไม่มากหรือน้อยเกินไป

จากรูปที่ 2.15(ค) และ 2.15(ง) จะเป็นแนวทางเดินที่เป็นไปได้ของจุด  $c(k)$  โดยมีข้อจำกัดของค่าความชัน  $P = 1$  ในรูปที่ 2.15(ค) เป็นรูปที่อธิบายถึงข้อจำกัดข้างต้นได้อย่างชัดเจน ส่วนในรูปที่ 2.15(ง) จะเป็นรูปที่ไม่ได้อยู่ภายใต้ข้อจำกัดเดียวกันกับรูปที่ 2.15(ค) ซึ่งข้อจำกัดใหม่นี้จะช่วยลดจำนวนเส้นทางที่จะต้องค้นหาให้น้อยลง ดังนั้นในระยะหลังจึงมีการนำมาประยุกต์ใช้เช่นกัน แต่ยกเว้นในกรณีที่  $P = 0$

#### 2.4.2.3 ค่าสัมประสิทธิ์ที่ใช้ในการถ่วงน้ำหนัก (Weighting coefficient)

จากสมการที่ 2.8 จะเห็นได้ว่า ถ้าตัวหารในสมการนั้นคือ

$$N = \sum_{k=1}^K w(k) \quad (2.10)$$

ไม่ขึ้นกับฟังก์ชันแวลูบั้ง  $F$  แล้ว ก็สามารถจะเขียนสมการใหม่ได้ดังนี้

$$D(A,B) = \frac{1}{N} \min_F \left[ \sum_{k=1}^K d(c(k)) \cdot w(k) \right] \quad (2.11)$$

สมการที่ได้ใหม่นี้สามารถจะนำมาใช้ได้อย่างมีประสิทธิภาพ โดยใช้เทคนิคของไดนามิกโปรแกรมมิ่ง ค่าจำกัดความของค่าสัมประสิทธิ์ที่ใช้ในการถ่วงน้ำหนัก สามารถแสดงได้เป็น 2 แบบ ดังนี้



ก. แบบสมมาตร (symmetric form)

$$w(k) = (i(k)-i(k-1)) + (j(k)-j(k-1)) \quad (2.12)$$

$$\text{ดังนั้น } N = I + J \quad (2.13)$$

เมื่อ  $I$  และ  $J$  เป็นความยาวของรูปแบบ  $A$  และ  $B$  ตามลำดับ ดังแสดงในสมการที่ 2.4ก และ 2.4ข

ข. แบบไม่สมมาตร (asymmetric form)

$$w(k) = (i(k)-i(k-1)) \quad (2.14)$$

$$\text{ดังนั้น } N = I \quad (2.15)$$

$$\text{หรือ } w(k) = (j(k)-j(k-1))$$

$$\text{ดังนั้น } N = J$$

แนวความคิดพื้นฐานของแบบสมมาตรและแบบไม่สมมาตรนี้ เริ่มต้นมาจากแนวคิดของ Sakoe และ Chiba (Sakoe et al., 1978)

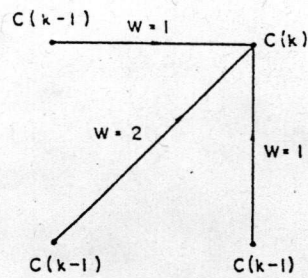
ถ้าทั้งแกนเวลา  $i$  และ  $j$  มีลักษณะของความต่อเนื่องแล้ว ในกรณีแบบสมมาตรจะได้ว่า ผลรวมในสมการที่ 2.8 จะหมายถึง ผลรวมของจุดซึ่งอยู่บนแกน  $l = i + j$  แต่สำหรับในกรณีแบบไม่สมมาตรแล้วผลรวมดังกล่าว จะหมายถึงผลรวมของจุดซึ่งอยู่บนแกนเวลา  $i$  เท่านั้น ผลของความแตกต่างนี้สามารถแสดงให้เห็นในรูปของสมการที่ต่างกันดังนี้

สำหรับแบบสมมาตร : ความแตกต่างที่มีการปรับตัวยึดหยุ่นทางแกนเวลา  $D(A,B) = D(B,A)$

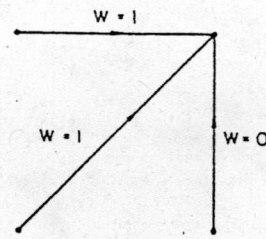
สำหรับแบบไม่สมมาตร : ความแตกต่างที่มีการปรับตัวยึดหยุ่นทางแกนเวลา  $D(A,B) \neq D(B,A)$

นอกจากนี้แล้วยังมีผลของความแตกต่างที่สำคัญอีกอันหนึ่ง ซึ่งแสดงได้ดังในรูปที่ 2.16





(ก) แบบสมมาตร



(ข) แบบไม่สมมาตร

รูปที่ 2.16 ค่าสัมประสิทธิ์ที่ใช้ในการถ่วงน้ำหนัก  $w(k)$

(ก) สำหรับแบบสมมาตร

(ข) สำหรับแบบไม่สมมาตร

จากรูปที่ 2.16(ข) จะเห็นว่าสำหรับแบบไม่สมมาตรนั้น ค่าสัมประสิทธิ์ที่ใช้ในการถ่วงน้ำหนัก  $w(k)$  จะลดลงจนกระทั่งมีค่าเป็นศูนย์ เมื่อทางเดินของจุดบนฟังก์ชันแวน์ปึงเคลื่อนไปในทิศทางของแกน  $j$  หรือ  $c(k) = c(k-1) + (0,1)$  แต่ในทางตรงกันข้าม ซึ่งเป็นแบบสมมาตร ดังในรูปที่ 2.16(ก) นั้น จะเห็นได้ว่า ค่าที่น้อยที่สุดของ  $w(k)$  จะมีค่าเท่ากับ 1

จากการวิเคราะห์ที่ได้กล่าวมาทั้งหมดนี้ก็เพื่อต้องการจะชี้ให้เห็นว่าแต่ละส่วนของรูปแบบควรจะต้องถูกนำมาใช้ในการพิจารณาอย่างเท่าเทียมกัน และถ้าเป็นไปได้ก็ควรที่จะหลีกเลี่ยงต่อการที่จะไม่นำเอาเวกเตอร์ของรูปแบบใดรูปแบบหนึ่งออกไปจากผลรวมของจุดซึ่งอยู่บนแกนเวลา ดังนั้นถ้าจะสรุปตามผลการวิเคราะห์แล้วก็ควรจะสรุปได้ว่าการใช้วิธีการของไดนามิกโปรแกรมมิ่งแบบสมมาตรควรจะให้ผลในการรู้จำที่มีความแน่นอน (accuracy) กว่าแบบไม่สมมาตร แต่อย่างไรก็ตามก็ควรพิจารณาไว้ด้วยว่าข้อจำกัดของความชันจะมีผลทำให้ความแน่นอนในการรู้จำลดลงเมื่อทางเดินของจุดบนฟังก์ชันแวน์ปึงเคลื่อนไปในทิศทางของแกน  $j$  ความแตกต่างในเรื่องของประสิทธิภาพระหว่างแบบสมมาตรและแบบไม่สมมาตรนี้จะค่อยๆ หดหายไปเมื่อข้อจำกัดของความชันมีค่ามากขึ้น



### 2.4.3 อัลกอริทึมในการทำงานสำหรับการเปรียบเทียบแบบไดนามิกโปรแกรมมิ่ง

#### 2.4.3.1 สมการไดนามิกโปรแกรมมิ่ง

ค่าจำกัดความของความแตกต่าง ที่มีการปรับตัวฮีดหยุ่นทางแกนเวลา  $D(A,B)$  ที่ได้ใหม่ดังสมการที่ 2.11 เป็นตัวอย่างของปัญหาหนึ่งซึ่งสามารถนำมาประยุกต์ใช้กับหลักการของการเปรียบเทียบแบบไดนามิกโปรแกรมมิ่งได้ อัลกอริทึมพื้นฐานสำหรับใช้ในการคำนวณตามสมการที่ 2.11 สามารถเขียนได้ในอีกรูปแบบหนึ่ง ดังนี้

เงื่อนไขเริ่มต้น :

$$g_1(c(1)) = d(c(1)) \cdot w(1) \quad (2.16)$$

สมการไดนามิกโปรแกรมมิ่ง :

$$g_k(c(k)) = \min_{c(k-1)} [g_{k-1}(c(k-1)) + d(c(k)) \cdot w(k)] \quad (2.17)$$

ความแตกต่างที่มีการปรับตัวฮีดหยุ่นทางแกนเวลา :

$$D(A,B) = \frac{1}{N} g_N(c(K)) \quad (2.18)$$

จากเงื่อนไขที่กล่าวมานี้ สมมติให้  $c(0) = (0,0)$   
 ดังนั้น สำหรับแบบสมมาตร จะได้ว่า  $w(1) = 2$   
 และ สำหรับแบบไม่สมมาตร จะได้ว่า  $w(1) = 1$

เมื่อพิจารณาข้อจำกัดของฟังก์ชันแวร์บิงที่ได้กล่าวมา ในหัวข้อที่ 2.4.2.2 และการแทนค่าสัมประสิทธิ์ที่ใช้ในการถ่วงน้ำหนัก  $w(k)$  จากสมการที่ 2.12 หรือสมการที่ 2.14 ลงไปในสมการที่ 2.17 แล้ว ก็จะได้อัลกอริทึมมากมายสำหรับใช้ในทางปฏิบัติ



ตัวอย่างที่ง่ายที่สุดตัวอย่างหนึ่ง ได้แก่ อัลกอริทึมแบบสมมาตรที่ไม่มีข้อจำกัดของความชัน ( $P = 0$ ) แสดงได้ดังนี้

เงื่อนไขเริ่มต้น :

$$g(1,1) = 2d(1,1) \quad (2.19)$$

สมการไดนามิกโปรแกรมมิ่ง :

$$g(i,j) = \min \begin{bmatrix} g(i,j-1) + d(i,j) \\ g(i-1,j-1) + 2d(i,j) \\ g(i-1,j) + d(i,j) \end{bmatrix} \quad (2.20)$$

เงื่อนไขในการปรับช่วงขอบเขต (adjustment window) :

$$j - r \leq i \leq j + r \quad (2.21)$$

ความแตกต่างที่มีการปรับตัวฮีดหยุ่นทางแกนเวลา :

$$D(A,B) = \frac{1}{N} g(I,J) \quad ; \quad N = I + J \quad (2.22)$$

#### 2.4.3.2 การคำนวณโดยย่อ

สมการไดนามิกโปรแกรมมิ่ง หรือ  $g(i,j)$  จะต้องมีการคำนวณในลักษณะรีเคอร์ซีฟ (recursive) และมีการเรียงของคู่ลำดับ  $(i,j)$  จากน้อยไปหามาก โดยเริ่มจาก เงื่อนไขเริ่มต้นที่  $(1,1)$  ไปจนถึง  $(I,J)$  สำหรับช่วงที่สมการไดนามิกโปรแกรมมิ่งจะต้องคำนวณเป็นดังนี้

$$1 \leq i \leq I,$$

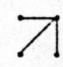
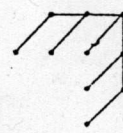

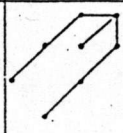
$$1 \leq j \leq J$$

และ

$$j - r \leq i \leq j + r$$



ตารางที่ 2.1 อัลกอริทึมของสมการไดนามิกโปรแกรมมิ่งแบบสมมาตรและแบบไม่สมมาตร

P	Schematic explanation	Symmetric / Asymmetric	DP-equation $g(i, j) =$	
0		Symmetric	$\min \begin{bmatrix} g(i, j-1)+d(i, j) \\ g(i-1, j-1)+2d(i, j) \\ g(i-1, j)+d(i, j) \end{bmatrix}$	T.1
		Asymmetric	$\min \begin{bmatrix} g(i, j-1) \\ g(i-1, j-1)+d(i, j) \\ g(i-1, j)+d(i, j) \end{bmatrix}$	T.2
1/2		Symmetric	$\min \begin{bmatrix} g(i-1, j-2)+2d(i, j-2)+d(i, j-1)+d(i, j) \\ g(i-1, j-2)+2d(i, j-1)+d(i, j) \\ g(i-1, j-1)+2d(i, j) \\ g(i-2, j-1)+2d(i-1, j)+d(i, j) \\ g(i-3, j-1)+2d(i-2, j)+d(i-1, j)+d(i, j) \end{bmatrix}$	T.3
		Asymmetric	$\min \begin{bmatrix} g(i-1, j-2)+d(i, j-2)+d(i, j-1)+d(i, j)/2 \\ g(i-1, j-2)+d(i, j-1)+d(i, j)/2 \\ g(i-1, j-1)+d(i, j) \\ g(i-2, j-1)+d(i-1, j)+d(i, j) \\ g(i-3, j-1)+d(i-2, j)+d(i-1, j)+d(i, j) \end{bmatrix}$	T.4
1		Symmetric	$\min \begin{bmatrix} g(i-1, j-2)+2d(i, j-1)+d(i, j) \\ g(i-1, j-1)+2d(i, j) \\ g(i-2, j-1)+2d(i-1, j)+d(i, j) \end{bmatrix}$	T.5
		Asymmetric	$\min \begin{bmatrix} g(i-1, j-2)+d(i, j-1)+d(i, j)/2 \\ g(i-1, j-1)+d(i, j) \\ g(i-2, j-1)+d(i-1, j)+d(i, j) \end{bmatrix}$	T.6
2		Symmetric	$\min \begin{bmatrix} g(i-2, j-2)+2d(i-1, j-2)+2d(i, j-1)+d(i, j) \\ g(i-1, j-1)+2d(i, j) \\ g(i-3, j-2)+2d(i-2, j-1)+2d(i-1, j)+d(i, j) \end{bmatrix}$	T.7
		Asymmetric	$\min \begin{bmatrix} g(i-2, j-2)+2(d(i-1, j-2)+d(i, j-1)+d(i, j))/3 \\ g(i-1, j-1)+d(i, j) \\ g(i-3, j-2)+d(i-2, j-1)+d(i-1, j)+d(i, j) \end{bmatrix}$	T.8

อัลกอริทึมสำหรับสมการไดนามิกโปรแกรมมิ่งควรจะต้องมีการปรับปรุงเมื่อนำไปใช้ในแบบไม่สมมาตร หรือ เมื่อมีการนำข้อจำกัดของความชันมาใช้ ในตารางที่ 2.1 จะเป็นการสรุปอัลกอริทึมทั้งสำหรับแบบสมมาตรและแบบไม่สมมาตร เมื่อมีการใช้ข้อจำกัดของความชันที่แตกต่างกัน สมการไดนามิกโปรแกรมมิ่งสำหรับแบบไม่สมมาตรในตารางนี้จะอยู่ในรูปแบบที่ได้รับการปรับปรุงเรียบร้อยแล้ว

จากตารางที่ 2.1 จะเห็นว่า เมื่อ  $P = 1$  สมการไดนามิกโปรแกรมมิ่งแบบไม่สมมาตรสมการแรกคือ  $g(i-1, j-2) + (d(i, j-1)+d(i, j))/2$  มีความสอดคล้องกันกับในกรณีของ  $c(k-1) = (i(k), j(k)-1)$  และ  $c(k-2) = (i(k-1)-1, j(k-1)-1)$  ดังนั้นถ้ายึดตามค่าจำกัดความในสมการที่ 2.14 แล้ว  $w(k)$  ก็จะต้องมีค่าเท่ากับศูนย์ ในขณะที่  $w(k-1)$  มีค่าเท่ากับ 1 ซึ่งถือว่าไม่ได้มีการนำค่า  $d(c(k))$  มาใช้ในการคำนวณผลรวมเลข ดังนั้นเพื่อหลีกเลี่ยงเหตุการณ์เช่นนี้ ค่าสัมประสิทธิ์ที่ใช้ในการถ่วงน้ำหนัก  $w(k-1) = 1$  จึงถูกแบ่งออกให้มีค่าอยู่ระหว่างค่าสัมประสิทธิ์ที่ใช้ในการถ่วงน้ำหนัก 2 ตัว คือ  $w(k-1)$  และ  $w(k)$  ดังนั้น  $(d(i, j-1)+d(i, j)) / 2$  จึงถูกนำมาใช้แทน  $d(i, j-1) + 0 \cdot d(i, j)$  ในสมการไดนามิกโปรแกรมมิ่งแบบไม่สมมาตรสมการแรก และในทำนองเดียวกันก็มีการปรับปรุงในลักษณะที่คล้ายกันนี้กับสมการไดนามิกโปรแกรมมิ่งแบบไม่สมมาตรสมการอื่นๆ ด้วย ซึ่งการปรับปรุงนี้เป็นสิ่งที่ช่วยทำให้ประสิทธิภาพในการทำงานกับสมการไดนามิกโปรแกรมมิ่งแบบไม่สมมาตรเพิ่มขึ้นมาก



2.5 อักษรไทย

2.5.1 อักษรไทยที่ใช้เป็นพื้นฐานสำหรับการรู้จำอักษร

อักษรไทยประกอบด้วย พยัญชนะ (consonant) 44 ตัว สระ (vowel) 32 รูป วรรณยุกต์ (tonal symbol) 4 รูป และ อักษรพิเศษ (special character) 4 ตัว แต่สระบางรูปสามารถแยกย่อยออก และใช้ในลักษณะอักษรพื้นฐานได้เช่น สระ ะ เกิดจากสระ े และ สระ ำ มาประกอบกัน ส่วนพยัญชนะมียกเว้น 2 ตัว คือ ฃ และ ฅ ซึ่งปัจจุบันไม่มีการนำมาใช้ในชีวิตประจำวันแล้ว ดังนั้นอักษรไทยที่ใช้เป็นพื้นฐานสำหรับการรู้จำจึงเหลือเพียง 67 ตัว คือ พยัญชนะ 42 ตัว สระ 17 ตัว วรรณยุกต์ 4 ตัว และอักษรพิเศษ 4 ตัว ดังนี้

พยัญชนะ 42 ตัว ได้แก่

ก ฃ ค ฅ ง จ ฉ ช ฌ ญ ฉ ฎ ฏ ฑ ฒ ค ต ถ ท ธ น บ ป ผ ฝ พ ฟ ภ ม ย ร ล ว ศ ษ ส ห ฬ อ ฮ

สระ 17 ตัว ได้แก่

ะ ำ ั ั ั ั ึ ุ แ อ ไ ใ ำ ั ฤ ฃ

วรรณยุกต์ 4 ตัว ได้แก่

โ ุ ่ ุ ุ ุ

อักษรพิเศษ 4 ตัว ได้แก่

๘ ๙ ๐ ๑

การรู้จำอักษรไทยนั้นจะมองว่า อักษรไทยส่วนใหญ่ประกอบขึ้นจากเส้นโค้ง มีหัวเป็นส่วนประกอบ และมีอักษรเพียงจำนวนเล็กน้อยเท่านั้นที่เขียนในลักษณะแยกจากกัน เช่น ญ และ ฐ เป็นต้น (Hiranvanichakorn et al., 1985) ดังนั้นในการรู้จำอักษรไทยนั้น ลักษณะสำคัญที่มักจะถูกนำมาใช้ในการวิเคราะห์จึงได้แก่ จำนวนหัวของอักษร จำนวนส่วนที่เขียนในลักษณะแยกกันของอักษร และลักษณะของเส้นโค้งที่ประกอบกันเป็นรูปร่างอักษร



ตารางที่ 2.2 ตารางรหัสอักขระไทยที่ใช้กับคอมพิวเตอร์มาตรฐาน สมอ.  
(มาตรฐาน สำนักงานมาตรฐานผลิตภัณฑ์อุตสาหกรรม)

4 บิตคั่น	8	1	2	3	4	5	6	7	8	9	A	B	C	D	E	F
8 บิตท้าย			SP	ø	@	P	p				ฐ	ภ	ะ	เ	๐	
1			!	!	A	Q	a	q			ก	ฑ	ม	ั	แ	๑
2			"	2	B	R	b	r			ข	ฒ	ย	า	ไ	๒
3			#	3	C	S	c	s			ช	ณ	ร	ำ	ใ	๓
4			£	4	D	T	d	t			ค	ค	ฤ	ำ	ใ	๔
5			%	5	E	U	e	u			ค	ค	ล	ำ	ใ	๕
6			&	6	F	V	f	v			ฃ	ถ	ภ	ำ	ใ	๖
7			'	7	G	W	g	w			ง	ท	ว	ำ	ใ	๗
8			(	8	H	X	h	x			จ	ช	ศ	,	'	๘
9			)	9	I	Y	i	y			ฉ	น	ษ	ุ	'	๙
A			*	:	J	Z	j	z			ช	บ	ศ	.	'	๑๐
B			+	;	K	[	k	{			ช	ป	ห	+	'	๑๑
C			,	<	L	\	l	!			ฃ	ฝ	พ	'	'	๑๒
D			-	=	M	]	m	}			ฃ	ฝ	อ	'	'	๑๓
E			.	>	N	^	n	~			ฃ	ฝ	ฮ	'	'	๑๔
F			/	?	O	_	o				ฃ	ฝ	๑	๒	'	๑๕

2.5.2 กลุ่มอักขระไทยที่มีลักษณะคล้ายคลึงกัน

- กลุ่มที่ 1 ได้แก่ ก ฃ ก ฃ ฃ ฃ ฃ ฃ
- กลุ่มที่ 2 ได้แก่ ค ศ ค ต
- กลุ่มที่ 3 ได้แก่ ม ฒ
- กลุ่มที่ 4 ได้แก่ บ ป ษ ฐ ฑ ฒ
- กลุ่มที่ 5 ได้แก่ ร ฃ
- กลุ่มที่ 6 ได้แก่ ณ ฃ ฃ
- กลุ่มที่ 7 ได้แก่ ฉ น
- กลุ่มที่ 8 ได้แก่ พ ฝ ฃ ฃ ฃ
- กลุ่มที่ 9 ได้แก่ ท ห
- กลุ่มที่ 10 ได้แก่ ล ฃ ฃ
- กลุ่มที่ 11 ได้แก่ อ ฃ ว
- กลุ่มที่ 12 ได้แก่ , ฃ ฃ ฃ
- กลุ่มที่ 13 ได้แก่ ฃ ฃ ฃ ฃ
- กลุ่มที่ 14 ได้แก่ ใ ใ ใ



2.5.3 กลุ่มอักษรไทยแยกตามระดับการเขียน

ระดับบน ได้แก่

๑ ๒ ๓ ๔ ๕ ๖ ๗ ๘ + ๙ ๐

ระดับกลาง ได้แก่

ก ข ค ฉ ง จ ฉ ช ช ฅ ญ ฎ ฏ ฐ ฑ ฒ ณ ด  
ต ถ ท ธ น บ ป ผ ฝ พ ฟ ภ ม ย ร ล ว ศ  
ษ ส ห ฬ อ ฮ ะ า แ โ ใ ไ ๓ ๔ ๕ ๖ ๗ ๘ ๙ ๐

ระดับล่าง ได้แก่

๑ ๒

ศูนย์วิทยทรัพยากร  
จุฬาลงกรณ์มหาวิทยาลัย